

1^{ER} CONGRESO DE COMPOSTAJE VENEZUELA

GESTIÓN Y APROVECHAMIENTO DE RESIDUOS ORGÁNICOS
PARA LA MITIGACIÓN DEL CAMBIO CLIMÁTICO

Valoración de tés de compost en la nutrición de plantas y control de patógenos vegetales.

Diánez F., Marin F., Gea F.J., Navarro M.J.,
Santos M.



24 de octubre de 2014
España-Venezuela

Agricultura y Medio Ambiente





Estabilización de residuos



Plantas de compostaje



No news is good NEWS!



TOADAY NEWS

boledinagrario.com



Diario Digital Independiente
dedicado a las actividades agroalimentarias y pesqueras, el ámbito

europapress.es ANDALUCÍA

Martes, 14 de agosto 2012

últimas noticias

NACIONAL | INTERNACIONAL | ECONOMÍA | DEPORTES | TV | CULTURA | SOCIEDAD | CIENCIA | COMUNI-

ANDALUCÍA > Cádiz Córdoba Granada Huelva Jaén Málaga Sevilla [twitter](#) @epandalucia
Sostenible Turismo La Pepa 2012 Educación Milenio de Granada Foro

ALMERÍA

Incendio en la planta de Albaida está sofocado en dos terceras partes y se prevé su extinción el fin de semana

Dirección Bomberos Poniente La Mojonería Albaida Cespa

Deja tu comentario

Imprimir Enviar
COMPARTE ESTA NOTICIA

tweet Enviar enenear tuenti +1

Gestión anuncios ▶

Teléfono de Información
Número de teléfono 905 456 512. Le facilitamos el contacto www.telefono.es/seguro...

Adelgazar con Lipo-13
La Pastilla para Adelgazar de 2012. 15 € de Descuento - 100% Garantía!



ALMERÍA, 10 Ago. (EUROPA PRESS)

El incendio desatado el martes en la planta de reciclaje de residuos agrícolas 'Albaida', en La Mojonería

ALMERIA 360 | AGRICULTURA

concentrando actualidad agricultura deportes cultura sociedad empresa recomendados

pilas incandescentes Inicio Expo Agro Producción Distribución Comercialización A pie de invernadero Empresa Pizarra de Precios

Así lo han

Poniente y otras labores gestionadas por los bomberos se ha momento pa-

Las mismas un tercio de precisadas largo de las que aún se

Por otro Planta Albaida en La Mojonería

Tu publicidad aquí, avanza tu negocio.

Agricultura Ganadería Pesca Medio Ambiente Agro Alimentarias Comercio Agentes Sectoriales Mecanizaci

Actualidad medioambiental Paisajes Rurales Clima Biblioteca Medioambiental

INICIO Medio Ambiente Actualidad medioambiental



especialízate ya en el sector

infórmate aquí

10-8-2012 COAG

COAG Almería hace un llamamiento a los agricultores afectados para que se dirigan a sus oficinas a interponer una denuncia

Vuelve a incendiarse la planta de gestión de residuos vegetales de Albaida en Almería

La planta de gestión de residuos vegetales de Albaida, en el municipio almeriense de La Mojonería, ha vuelto a incendiarse 11 meses después. El fuego, que se inició en la jornada del 8 de agosto, ha calcinado la totalidad de la planta incluyendo el comprobar los responsables de legales contra CESPA.

Me gusta 0



gora, y el Secretario de Organización, anta de restos vegetales de Albaida continua ardiente desde que el

ponsables de COAG comprobaron in ha ardido "la totalidad de planta, compost almacenado. Los dueños de la concesionaria del servicio, CESPA, sinvergüenzas ya que cobran a los es unos precios abusivos por un que no se presta y muestra de ello es 11 meses la misma planta volvió a Es cuanto menos curioso que te desde hace años la planta arda indignación de los agricultores y la nza de las administraciones locales,

La planta de Albaida en la Mojonería otra vez en llamas

■ Más de un centenar de agricultores se han puesto en contacto con la organización agraria ASAJA para que solicite la devolución del importe pagado por la gestión de los restos vegetales

Twittear 1

Me gusta 11

Compartir 1

+1 1

Compartir 1



Justificación

Gestión de residuos



Protección fitosanitaria



Fertilización de cultivos



Reducción de materias activas

Reducción de residuos (LMR)

Resistencias

Acumulación en alimentos

Contaminación medio ambiental

Coste de fertilizantes

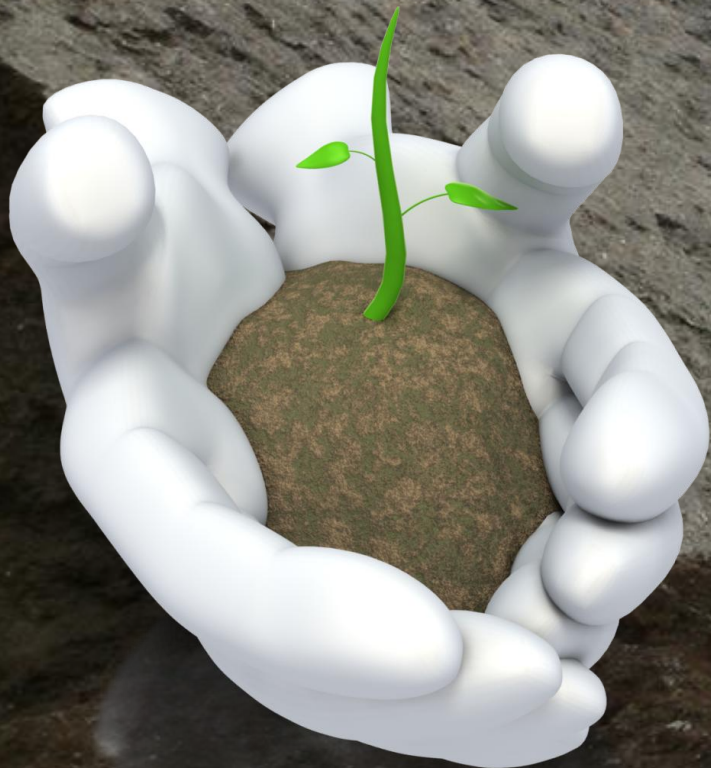
Compost

Té de compost

Solución?



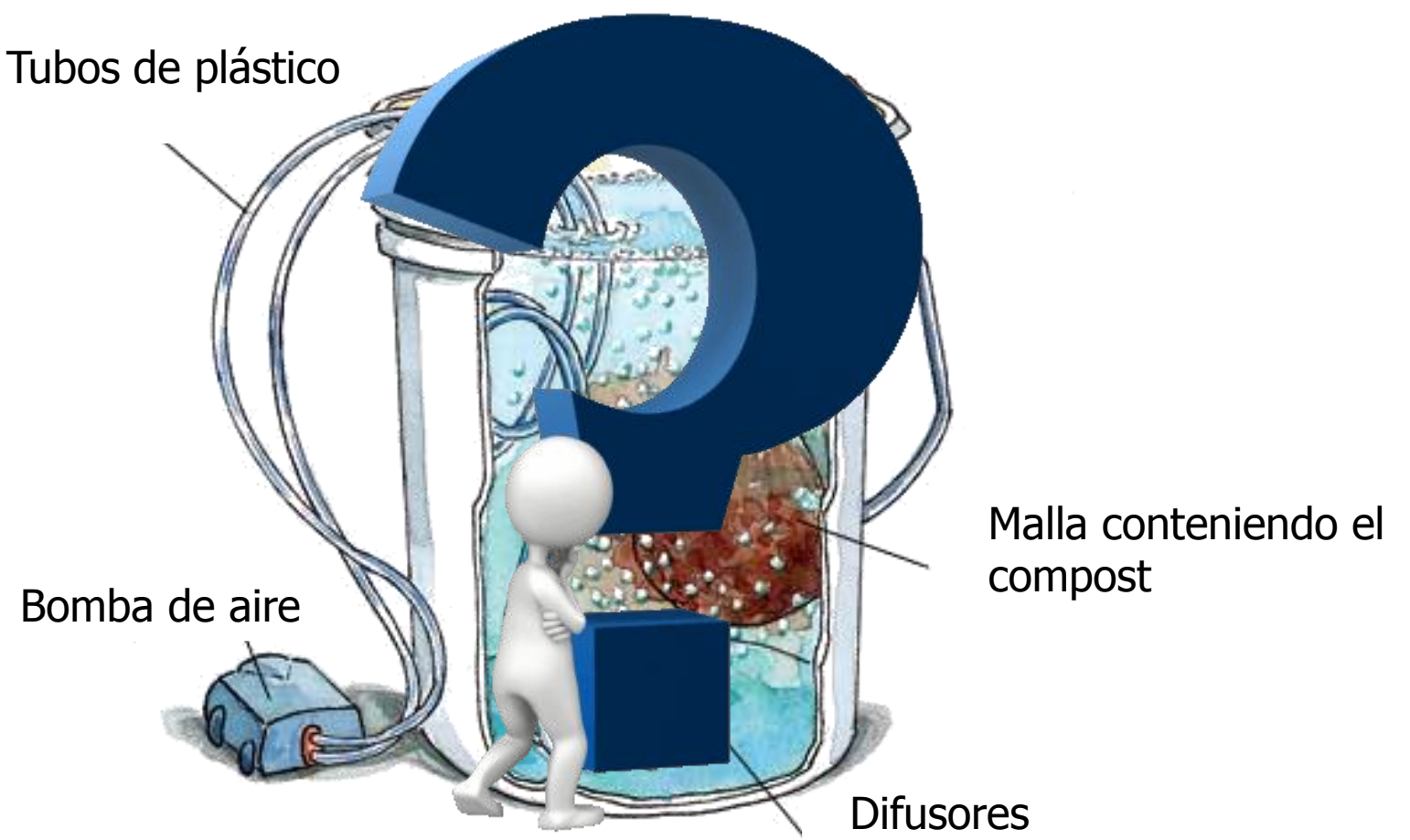
Beneficios del té de compost



Mayor calidad

Reducción de insumos





Té de compost



Extractos acuosos a distintas proporciones y formas de fermentación

TÉS DE COMPOST AIREADOS

Aerated Compost Tea



TÉS DE COMPOST NO AIREADOS

Non-aerated Compost Tea

Té de compost



Extractos acuosos a distintas
proporciones y formas de
fermentación

COMPOST Y PROCEDENCIAS



Compost del sustrato agotado del champiñón

Spent Mushroom Compost



La Manchuela
Cuenca



Compost de orujo de vid

Grape Marc Compost



Almagro
Ciudad Real



Compost de restos hortícolas

Crop Residues Compost



La Albaida
Almería



Vermicompost de restos hortícolas

Crop Residues Vermicompost



La Albaida
Almería



SMC

GMC

CRC

CRV

BLOQUES DE ESTUDIO

A. Análisis microbiológico de los tés de compost



B. Análisis físico-químico de los tés de compost



C. Ensayos de supresividad *in vitro*



D. Ensayos de supresividad *in vivo*



E. Análisis enzimático de los tés de compost



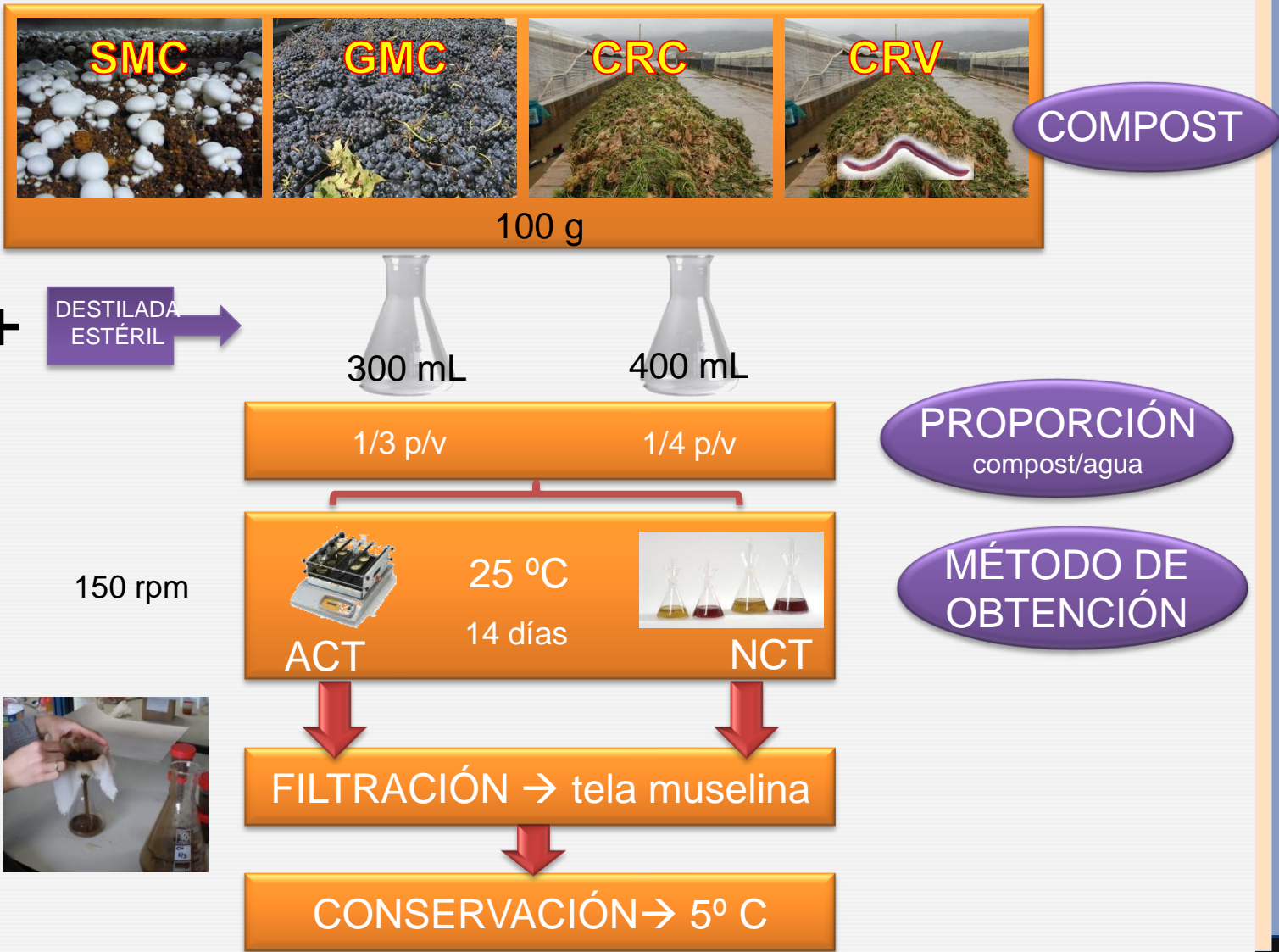
F. Tés de compost para la fertirrigación de los cultivos



G. Tés de compost para la promoción del crecimiento vegetal



ELABORACIÓN DE LOS TÉS DE COMPOST



BLOQUES DE ESTUDIO

A. Análisis microbiológico de los tés de compost



B. Análisis físico-químico de los tés de compost



C. Ensayos de supresividad *in vitro*



D. Ensayos de supresividad *in vivo*



E. Análisis enzimático de los tés de compost



F. Tés de compost para la fertirrigación de los cultivos



G. Tés de compost para la promoción del crecimiento vegetal



A. ANÁLISIS MICROBIOLÓGICO DE LOS TÉS DE COMPOST

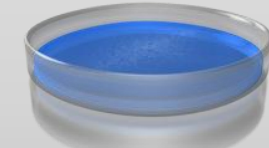


ACT \longleftrightarrow NCT

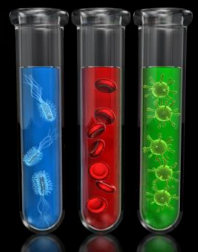
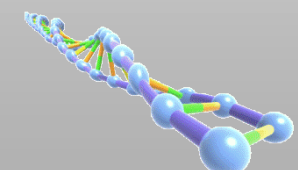
1/3 \longleftrightarrow 1/4

(p/v)

Análisis mediante la técnica
del recuento en placa



Estudio genético de las
comunidades bacterianas



A. ANÁLISIS MICROBIOLÓGICO DE LOS TÉS DE COMPOST

ANÁLISIS DE LA MICROBIOTA MEDIANTE LA TÉCNICA DEL RECUENTO EN PLACA

Wakelin *et al.*, 1998
Koné *et al.*, 2010



$$\text{ACT} \longleftrightarrow \text{NCT}$$
$$1/3 \longleftrightarrow 1/4 \quad (\text{p/v})$$

técnica de las diluciones sucesivas

TSA	bacterias totales
Agar MacConkey	enterobacterias
Agar Gelatina	bacterias proteolíticas
King B	pseudomonas totales
Agar F	pseudomonas fluorescentes
Agar Malta	hongos totales
Agar Bilis Verde Brillante	coliformes totales

{



2-6 días
25º C

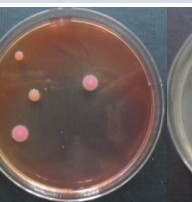
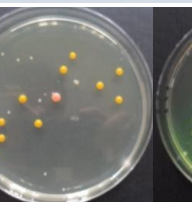
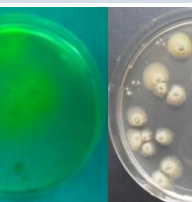


ufc/mL té puro



ANOVA multifactorial y
unifactorial

ANÁLISIS DE LA MICROBIOTA MEDIANTE LA TÉCNICA DEL RECUENTO EN PLACA

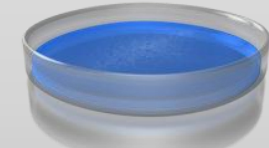
		Poblaciones microbianas (10^7 ufc/mL)						
TÉS DE COMPOST		BACTERIAS TOTALES	ENTERO-BACTERIAS	BACTERIAS PROTEOLÍT.	PSEUDOM. TOTALES	PSEUDOMO. FLUORESC.	HONGOS TOTALES	
	ACT	1/3 1,90 e	0,02 de	4,23 h	2,07 hi	0,04 a	0,27 ab	
	1/4	0,71 abcd	0,12 e	1,10 bcdef	0,97 defg	bnd	0,19 ab	
	NCT	1/3 1,34 cde	0,03 e	2,05 fgh	2,13 i	0,02 a	0,06 ab	
	1/4	1,25 cde	0,03 cd	1,43 defg	0,99 defg	bnd	0,05 ab	
	ACT	1/3 2,37 e	-	0,27 a	0,28 abc	bnd	0,28 ab	
	1/4	0,50 a	0,01 bcd	0,55 bc	0,21 ab	0,05 a	0,29 ab	
	NCT	1/3 0,41 a	bnd	0,14 a	0,13 a	bnd	0,27 ab	
	1/4	0,35 a	bnd	1,48 bcd	0,12 a	-	0,40 b	
	ACT	1/3 1,25 cde	0,01 a	3,00 gh	1,28 defgh	0,05 a	0,35 ab	
	1/4	0,48 ab	0,01 abcd	0,80 bcde	0,57 bcd	bnd	0,23 ab	
	NCT	1/3 1,13 bcde	0,01 abcd	1,58 efg	1,45 efghi	0,03 a	0,07 ab	
	1/4	1,10 bcde	-	1,14 cdef	0,70 cde	bnd	0,06 ab	
	ACT	1/3 1,60 de	0,01 abc	1,86 fg	1,66 fghi	0,07 a	0,28 ab	
	1/4	0,62 abc	0,01 cd	0,50 b	0,73 cde	bnd	0,19 ab	
	NCT	1/3 1,32 cde	0,01 cd	1,07 bcdef	1,78 ghi	0,04 a	0,05 ab	
	1/4	1,16 cde	0,01 ab	0,66 bcd	0,84 def	bnd	0,04 a	
Coliformes totales: no detectados								

A. ANÁLISIS MICROBIOLÓGICO DE LOS TÉS DE COMPOST

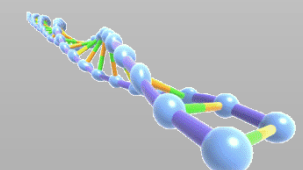


ACT \longleftrightarrow NCT
1/3 \longleftrightarrow 1/4
(p/v)

Análisis mediante la técnica
del recuento en placa



Estudio genético de las
comunidades bacterianas



A. ANÁLISIS MICROBIOLÓGICO DE LOS TÉS DE COMPOST

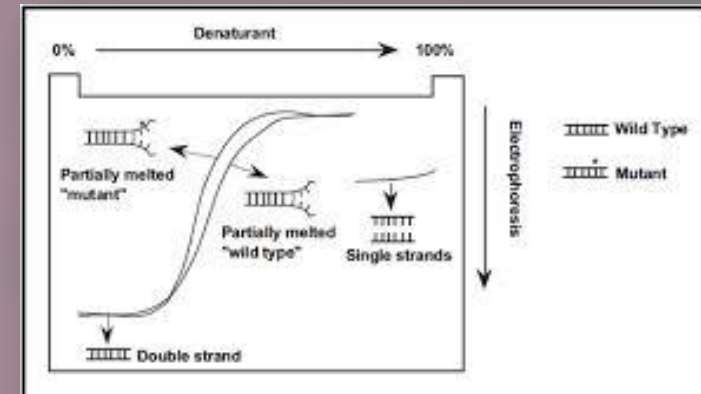
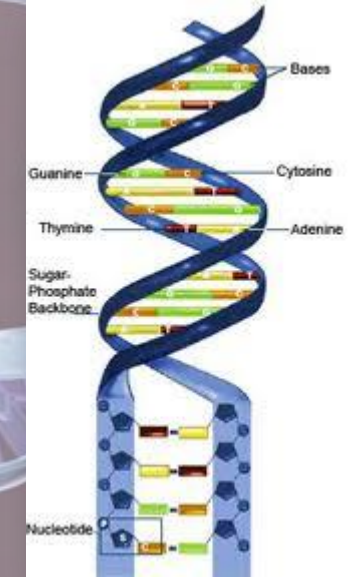
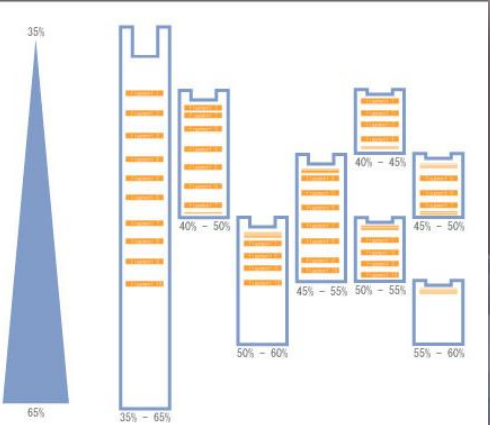
ESTUDIO GENÉTICO DE LAS COMUNIDADES BACTERIANAS

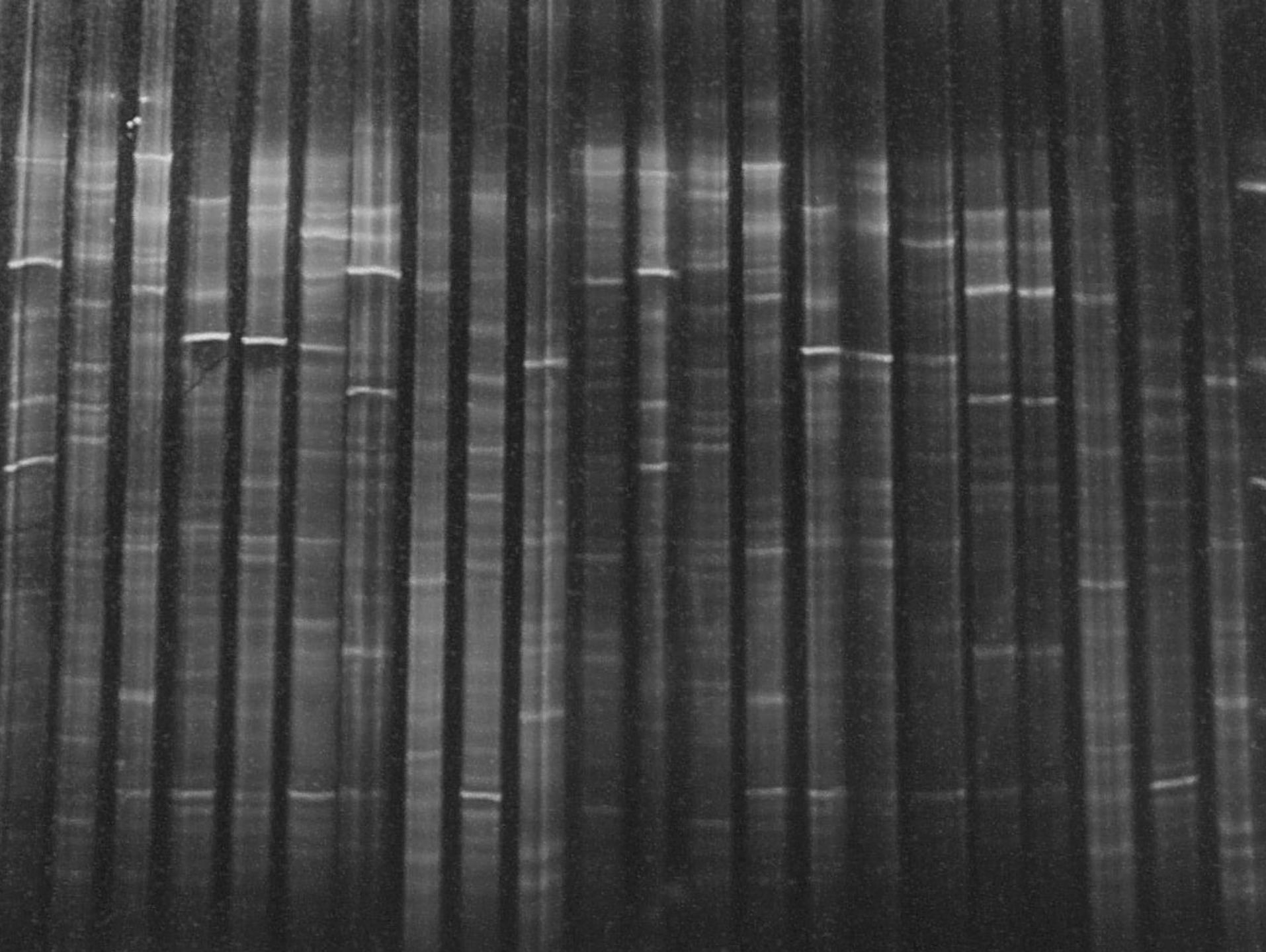
Muyzer *et al.*, 1993
Gonzalez and Saiz-Jimenez, 2004

PCR-DGGE

gen 16S rADN

1500 pb



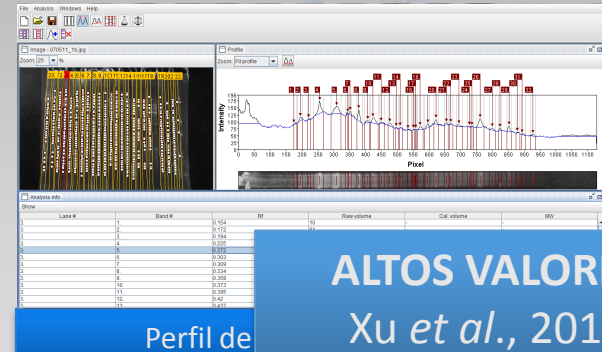


A. ANÁLISIS MICROBIOLÓGICO DE LOS TÉS DE COMPOST

ESTUDIO GENÉTICO DE LAS COMUNIDADES BACTERIANAS

ACT → NCT

1/4 (p/v)



	ÍNDICE DE RIQUEZA (R)	ÍNDICE DE DIVERSIDAD (H')	ÍNDICE DE UNIFORMIDAD (E)	ÍNDICE DE SIMPSON (S)*
SMC	ACT	34	3.14	0.89
	NCT	32	2.86	0.83
GMC	ACT	43	3.03	0.81
	NCT	41	2.81	0.76
CRC	ACT	43	2.83	0.75
	NCT	20	2.51	0.84
CRV	ACT	46	2.91	0.76
	NCT	37	2.81	0.78

*: valores bajos para el índice de Simpson son favorables

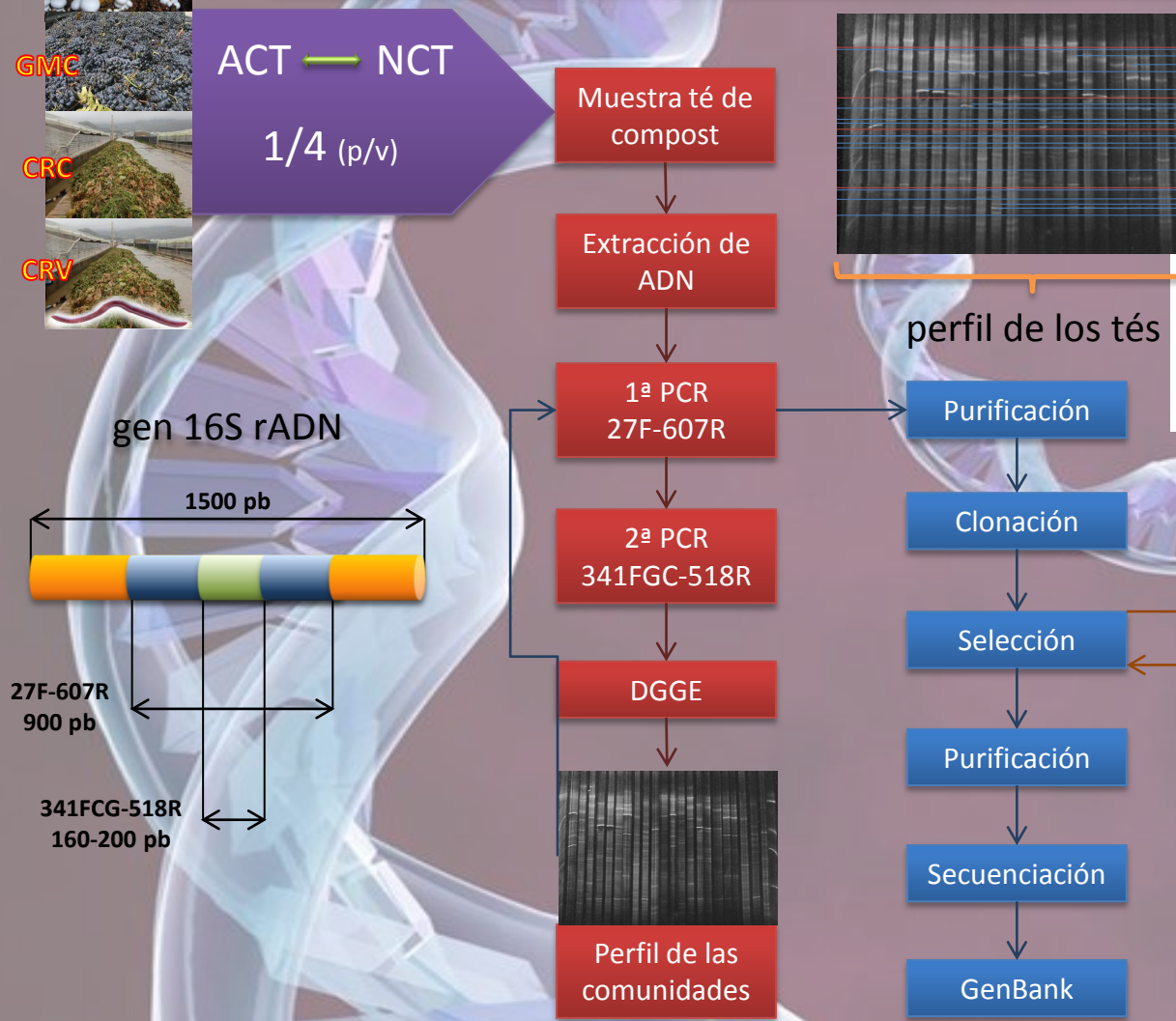
A. ANÁLISIS MICROBIOLÓGICO DE LOS TÉS DE COMPOST

ESTUDIO GENÉTICO DE LAS COMUNIDADES BACTERIANAS

Muvzer et al., 1993
Gonzalez y Saiz-Jimenez, 2004

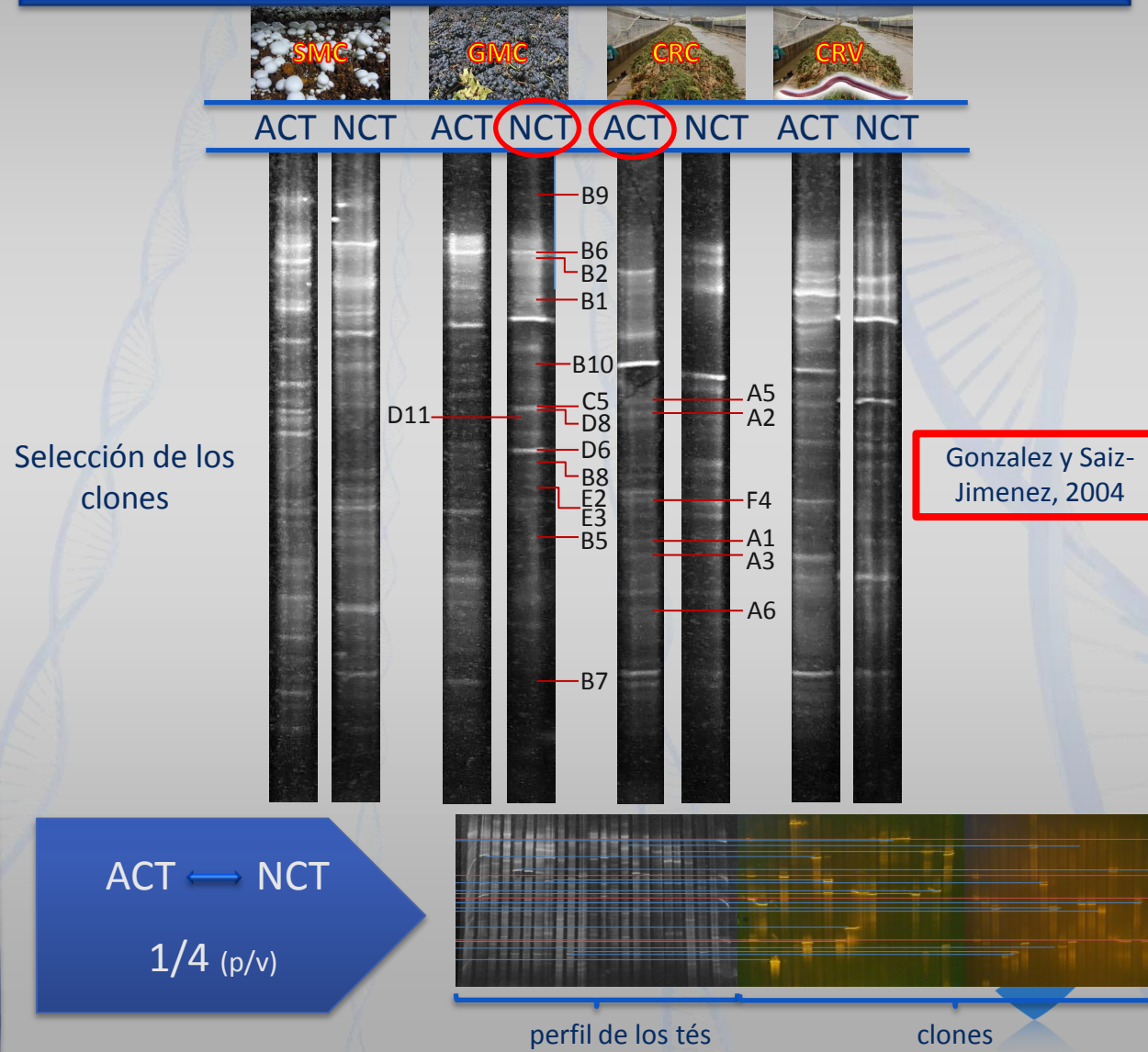


ACT → NCT
1/4 (p/v)



A. ANÁLISIS MICROBIOLÓGICO DE LOS TÉS DE COMPOST

ESTUDIO GENÉTICO DE LAS COMUNIDADES BACTERIANAS



A. ANÁLISIS MICROBIOLÓGICO DE LOS TÉS DE COMPOST

ESTUDIO GENÉTICO DE LAS COMUNIDADES BACTERIANAS

CLON	COINCIDENCIA MÁS CERCANA EN GENBANK	NÚMERO DE ACCESO	PHYLUM	LONGITD (pb)	% SIMILITUD	Nº ACCESO DE LA COINCIDENCIA MÁS CERCANA
A1	<i>Thermoanaerobacter uzonensis</i>	KF228158	<i>Firmicutes</i>	883	83	HM182252.1
A2	<i>Lewinella cohaerens</i>	KF228160	<i>Bacteroidetes</i>	789	92	AB301614.1
A3	<i>Planctomyces maris</i>	KF228168	<i>Planctomycetes</i>	625	91	X62910.1
A5	<i>Hahella chejuensis lamia majanohamensis</i>	KF228172	<i>Proteobacteria</i>	856	92	NR 074812.1
A6	<i>Nitrosomonas aestuarii oligotropha</i>	KF228171	<i>Actinobacteria</i>	878	93	JQ899225.1
B1	<i>Opitutus terrae</i>	KF228156	<i>Proteobacteria</i>	903	97	AJ298734.1
B2	<i>Trojanella thessalonices</i>	KF228157	<i>Proteobacteria</i>	865	98	EF016119.1
B5	<i>Gemmatumonas aurantiaca</i>	KF228164	<i>Verrumicrobia</i>	834	93	NR 074978.1
B6	<i>Prosthecobacter dejongeii</i>	KF228167	<i>Proteobacteria</i>	875	87	AF069496.1
B7	<i>Lutispora thermophila</i>	KF228166	<i>Gemmatimonadetes</i>	850	85	NR 074708.1
B8	<i>Lacibacter cauensis</i>	KF228169	<i>Firmicutes</i>	742	91	NR 041236.1
C5	<i>Flavobacterium cucumis</i>	KF228170	<i>Bacteroidetes</i>	910	86	AB682227.1
D6	<i>Lacibacter cauensis</i>	KF228159	<i>Bacteroidetes</i>	908	88	AB682227.1
D11	<i>Chitinophaga pinensis</i>	KF228163	<i>Bacteroidetes</i>	900	90	KC934843.1
E2	<i>Chitinophaga arvensicola</i>	KF228162	<i>Bacteroidetes</i>	666	86	AB681047.1
E3	<i>Hydrogenophaga caeni</i>	KF228174	<i>Bacteroidetes</i>	666	87	AB681047.1
F4		KF155897	<i>Proteobacteria</i>	777	99	NR 043769.1

A. ANÁLISIS MICROBIOLÓGICO DE LOS TÉS DE COMPOST

ESTUDIO GENÉTICO DE LAS COMUNIDADES BACTERIANAS

<i>Bacteroidetes</i>	44%
<i>Proteobacteria</i>	28%
<i>Firmicutes</i>	11%
<i>Verrumicrobia</i>	11%
<i>Planctomycetes</i>	6%
<i>Actinobacteria</i>	6%
<i>Gemmatimonadetes</i>	6%



COMPOST
Yamamoto *et al.*,
2009

9,36 dS/m ACT SMC

5,34 dS/m NCT GMC

Condiciones
acuáticas

Alta salinidad

Presencia
materiales en
descomposición

BLOQUES DE ESTUDIO

A. Análisis microbiológico de los tés de compost



B. Análisis físico-químico de los tés de compost



C. Ensayos de supresividad *in vitro*



D. Ensayos de supresividad *in vivo*



E. Análisis enzimático de los tés de compost



F. Tés de compost para la fertirrigación de los cultivos



G. Tés de compost para la promoción del crecimiento vegetal



B. ANÁLISIS FÍSICO-QUÍMICO DE LOS TÉS DE COMPOST

ANÁLISIS ELEMENTAL



ACT \longleftrightarrow NCT
1/4 (p/v)

ESPECTROSCOPÍA DE ABSORCIÓN ATÓMICA

K Na Ca Mg Fe Cu Mn Zn Pb Hg



ESPECTROFOTOMETRÍA DE UV-VISIBLE

NO_3^- PO_4^{3-} SO_4^{2-} NH_4^+

pH

CE



TRITACIÓN

Cl



B. ANÁLISIS FÍSICO-QUÍMICO DE LOS TÉS DE COMPOST

ACT → NCT

1/4 (p/v)



	ACT	NCT	ACT	NCT	ACT	NCT	ACT	NCT
pH	7,79 a	8,19 a	7,88 a	8,24 a	8,17 a	8,10 a	8,24 a	8,21 a
CE (dS/m)	9,36 d	9,18 d	5,44 a	5,34 a	5,75 ab	5,76 ab	7,49 c	7,03 cd

ANOVA unifactorial

Medias con las mismas
letras: no existen
diferencias significativas
(LSD, P<0,05)



pH y niveles de salinidad

dependientes del material de partida

B. ANÁLISIS FÍSICO-QUÍMICO DE LOS TÉS DE COMPOST

ACT → NCT

1/4 (p/v)

ppm



	ACT	NCT	ACT	NCT	ACT	NCT	ACT	NCT
NO ₃	168 c	155 c	193 c	76 b	63 b	39 a	67 b	34 a
NH ₄	0,30 b	0,65 d	2,27 e	5,54 e	0,69 d	0,15 a	0,45 c	1,53 e
PO ₄	15 ab	17 bc	19 c	20 cd	23 d	20 cd	17 bc	12 a
Cl	177 b	170 b	174 b	184 b	128 a	135 a	160 ab	156 ab
SO ₄	2723 d	2241 c	353 a	626 a	1315 b	1363 b	1597 b	1498 b
K	2626 c	2467 c	2247bc	1892 b	1422 a	1445 a	1462 a	1385 a
Ca	967 e	819 de	1758 f	290 a	488 bc	346 ab	648 cd	360 ab
Mg	272 c	491 d	128 a	92 a	234 bc	196 b	606 e	289 c
Na	585 de	529 d	292 b	215 b	61 a	415 c	652 e	611 de
Fe	5,9 abc	0,05 a	64,59 c	0,22 a	20,5 bc	1,1 abc	5,7 abc	0,65 ab
Mn	0,98 c	1,19 c	2,69 d	0,57 b	1,14 c	0,28 a	0,34 ab	0,27 a



Contenido en nutrientes

ACT > NCT en la mayoría de los casos

Medias con las mismas letras: no existen diferencias significativas (LSD, P<0,05)

-: < 4 10⁻³ ppm o no detectado

B. ANÁLISIS FÍSICO-QUÍMICO DE LOS TÉS DE COMPOST

ACT → NCT

1/4 (p/v)

ppm



	ACT	NCT	ACT	NCT	ACT	NCT	ACT	NCT
Pb	0,23 ab	-	0,28 b	0,54 cd	0,17 a	0,46 c	0,72e	0,56 d
Hg	-	-	0,01 a	0,01 a	0,01 a	-	-	-
Cu	0,12 b	0,01 a	0,52 e	0,16 bc	0,61 f	0,15 b	0,37 d	0,22 c
Zn	0,58 c	0,81 d	2,32 e	0,17 a	0,84 d	0,36 b	0,39 bc	0,23 ab



Contenido en metales pesados: < 1 ppm

Cu y Zn microelementos

Medias con las mismas
letras: no existen
diferencias significativas
(LSD, P<0,05)

-: < 4 10⁻³ ppm o no
detectado

B. ANÁLISIS FÍSICO-QUÍMICO DE LOS TÉS DE COMPOST

ACT → NCT

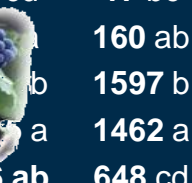
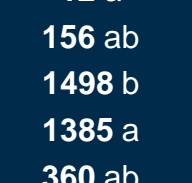
1/4 (p/v)

ppm

Medias con las mismas letras: no existen diferencias significativas (LSD, P<0,05)

-< 4 10⁻³ ppm o no detectado



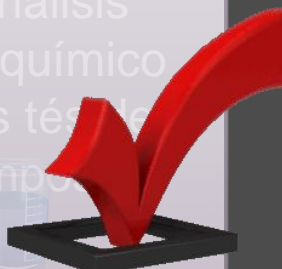
	SMC	GMC	CRC	CRV				
	ACT	NCT	ACT	NCT	ACT	NCT	ACT	NCT
pH	7,79 a	8,19 a	7,88 a	8,24 a	8,17 a	8,10 a	8,24 a	8,21 a
CE (dS/m)	9,36 d	9,18 d	5,44 a	5,34 a	5,75 ab	5,76 ab	7,49 c	7,03 cd
NO ₃	168 c	155 c	193 c	76 b	63 b	39 a	67 b	34 a
NH ₄	0,30 b	0,65 d	2,27 e	5,54 e	0,69 d	0,15 a	0,45 c	1,53 e
PO ₄	15 ab	17 bc	19 c	20 cd	23 d	20 cd	17 bc	12 a
Cl	177 b	170 b	174 b		128 a	155 b	160 ab	156 ab
SO ₄	2723 d	2241 c	353 a		488 bc	346 ab	1597 b	1498 b
K	2626 c	2467 c	2247bc		290 a	346 ab	1462 a	1385 a
Ca	967 e	819 de	1758 f		488 bc	346 ab	648 cd	360 ab
Mg	272 c	491 d	128 a		92 a	196 b	606 e	289 c
Na	585 de	529 d	292 b		215 b	415 c	652 e	611 de
Fe	5,9 abc	0,05 a	64,59 c		0,22 a	20,5 bc	1,1 abc	5,7 abc
Mn	0,98 c	1,19 c	2,69 d		0,57 b	1,14 c	0,28 a	0,34 ab
Pb	0,23 ab	-	0,28 b		0,54 cd	0,17 a	0,46 c	0,72e
Hg	-	-	0,01 a		0,01 a	0,01 a	-	-
Cu	0,12 b	0,01 a	0,52 e		0,16 bc	0,61 f	0,15 b	0,37 d
Zn	0,58 c	0,81 d	2,32 e		0,17 a	0,84 d	0,36 b	0,39 bc

BLOQUES DE ESTUDIO

A. Análisis microbiológico de los tés de compost



B. Análisis físico-químico de los tés de compost



C. Ensayos de supresividad *in vitro*



D. Ensayos de supresividad *in vivo*



E. Análisis enzimático de los tés de compost



F. Tés de compost para la fertirrigación de los cultivos



G. Tés de compost para la promoción del crecimiento vegetal



C. ENSAYOS DE SUPRESIVIDAD *IN VITRO*

SMC



GMC



CRC



CRV



ACT \longleftrightarrow NCT
1/3 \longleftrightarrow 1/4
(p/v)

concentración del
té la aplicación

MÉTODO POURING

Botryotinia cinerea

Sclerotinia sclerotiorum

Pythium aphanidermatum

Fusarium oxysporum f.sp. *melonis*

Phytophthora parasitica

Dydimella bryoniae

Verticillium dahliae

Lecanicillium fungicola

Phytophthora parasitica

Phytophthora capsici

Diánez, 2005

C. ENSAYOS DE SUPRESIVIDAD *IN VITRO*



MÉTODO POURING

FILTRACIÓN → tela muselina

TES DE
COMPOST



ESTERILIZACIÓN
calor

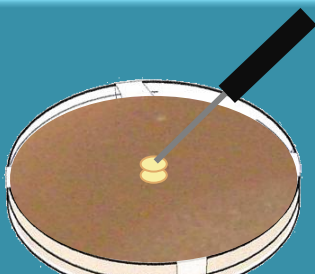
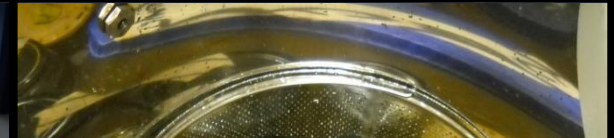


ESTERILIZACIÓN
microfiltración

E 120 °C
30 min

M 0,22 µm

ADICIÓN AL MEDIO DE CULTIVO PDA



SIEMBRA



INCUBACIÓN



LECTURAS

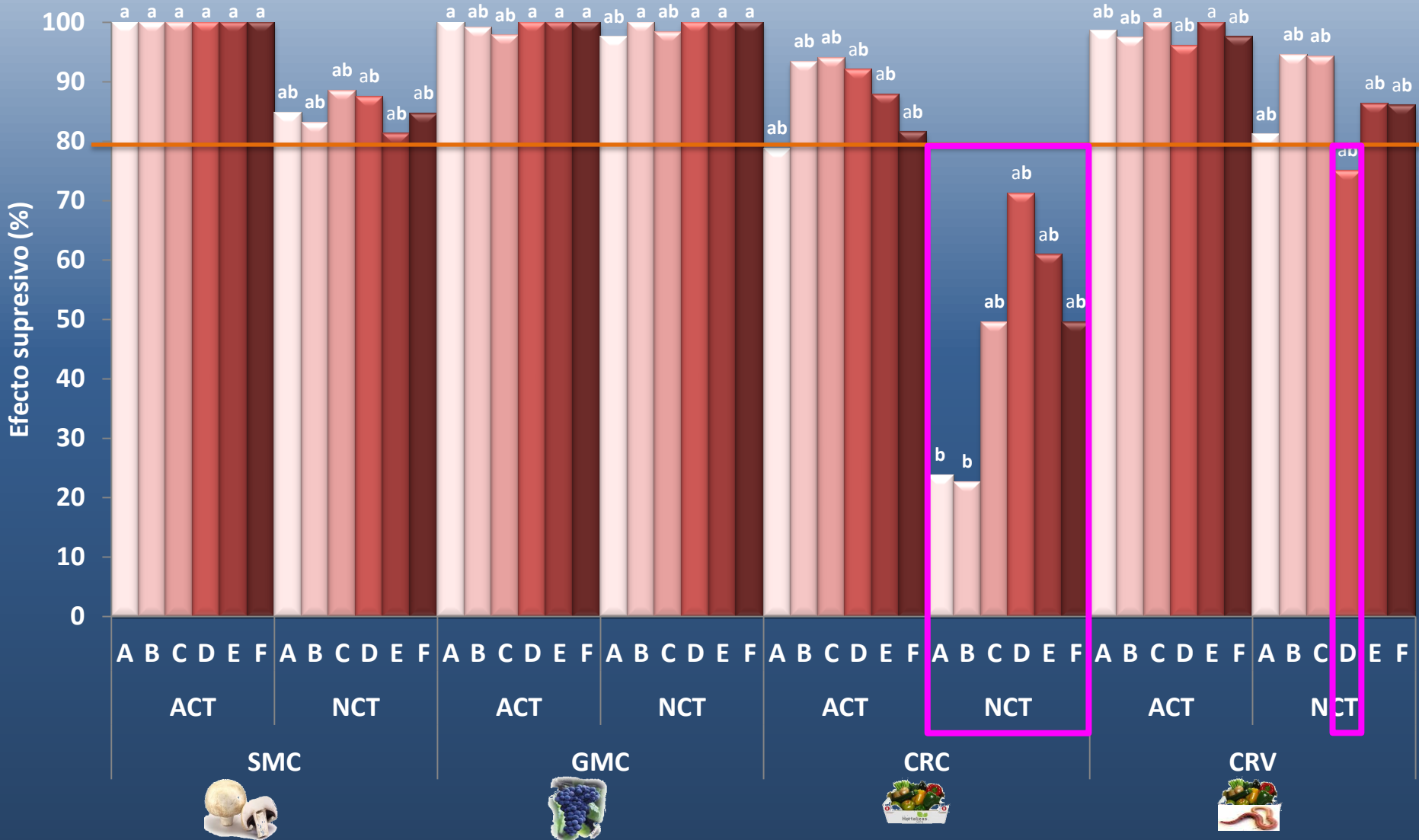
$$\% = \frac{(D \text{ testigo} - D \text{ tratamiento})}{D \text{ testigo}} \times 100$$

CÁLCULO DEL % DE
INHIBICIÓN

C. ENSAYOS DE SUPRESIVIDAD IN VITRO

Phytophthora capsici

Kruskal-Wallis One-Way AOV



A: 1/3 (p/v) al 5%

B: 1/3 (p/v) al 10%

C: 1/3 (p/v) al 15%

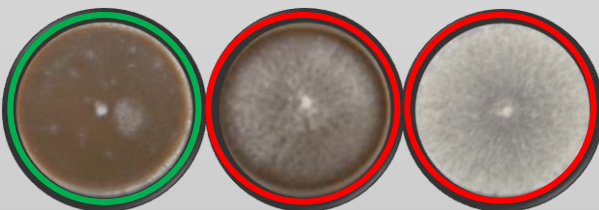
D: 1/4 (p/v) al 5%

E: 1/4 (p/v) al 10%

F: 1/4 (p/v) al 15%

C. ENSAYOS DE SUPRESIVIDAD IN VITRO

ANOVA unifactorial

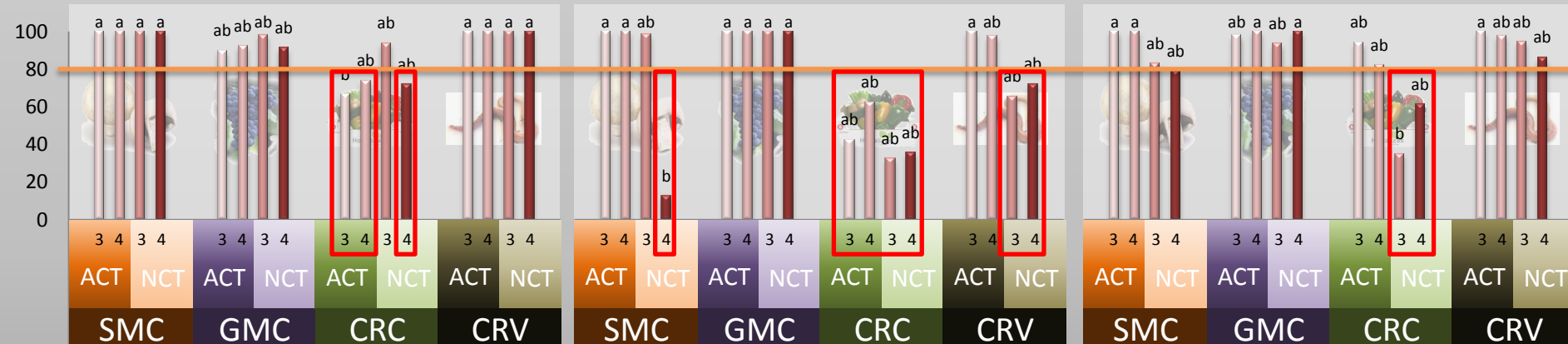


% INHIBICIÓN

F E M

3: 1/3 (p/v)

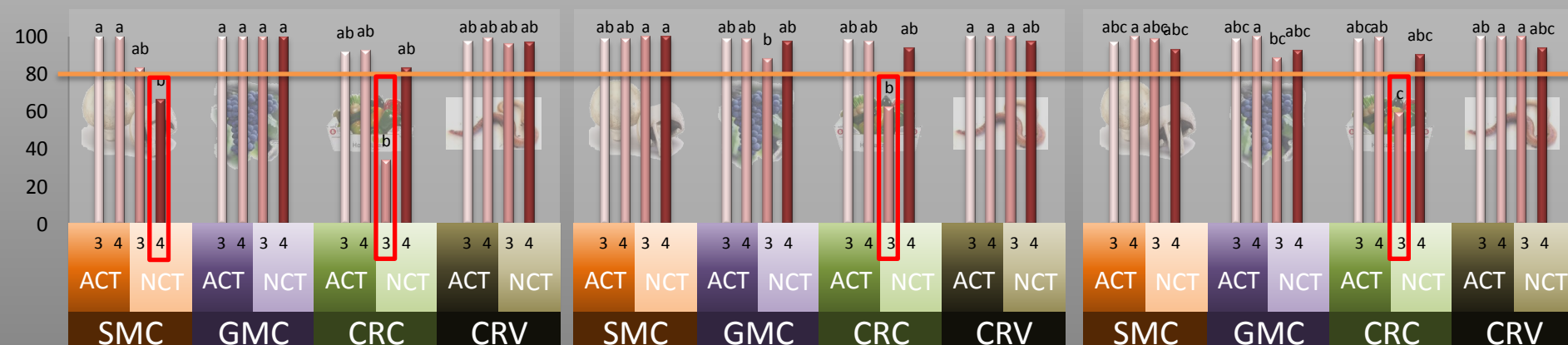
4: 1/4 (p/v)



Pythium aphanidermatum

F. o. f.sp. melonis

Phytophthora parasitica



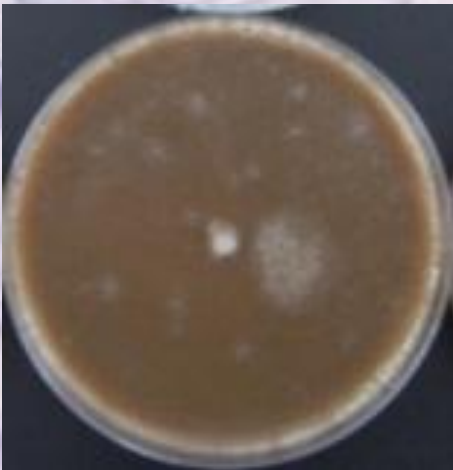
Dydimella bryoniae

Verticillium dahliae

Lecanicillium fungicola

B. cinerea

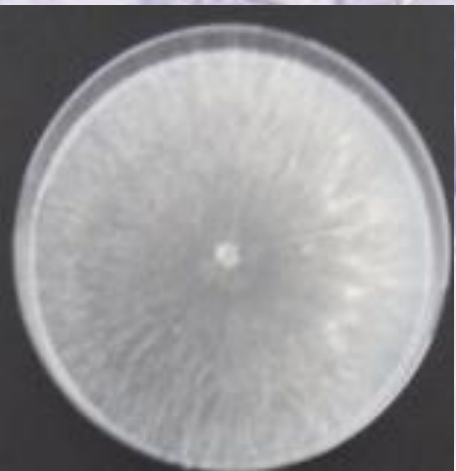
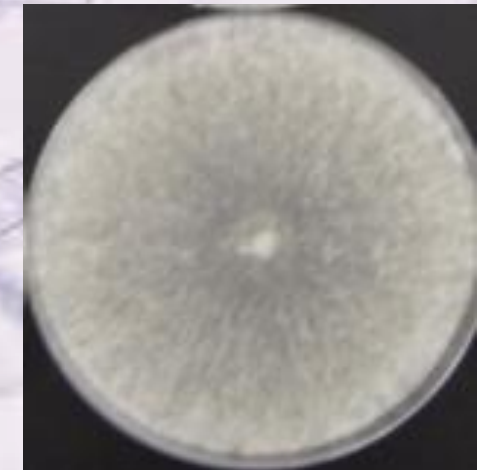
ACT-F



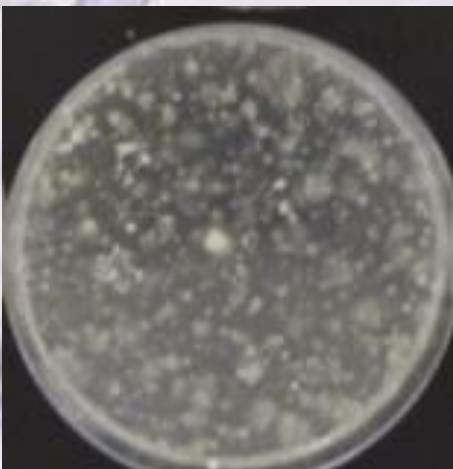
ACT-E



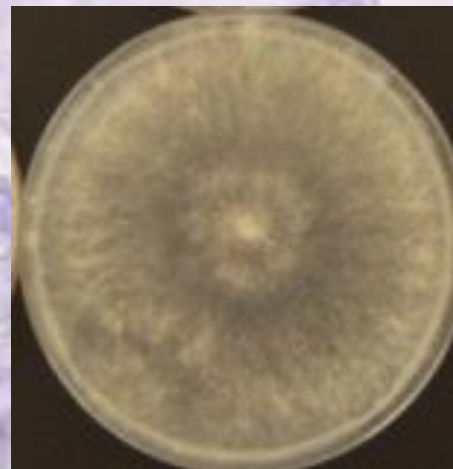
ACT-M



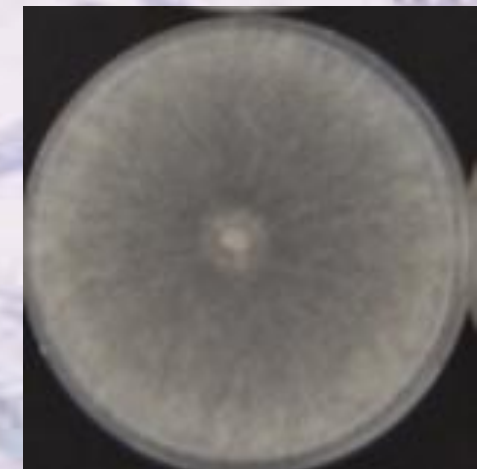
CONTROL



NCT-F



NCT-E



NCT-M

F. o. f.sp. melonis

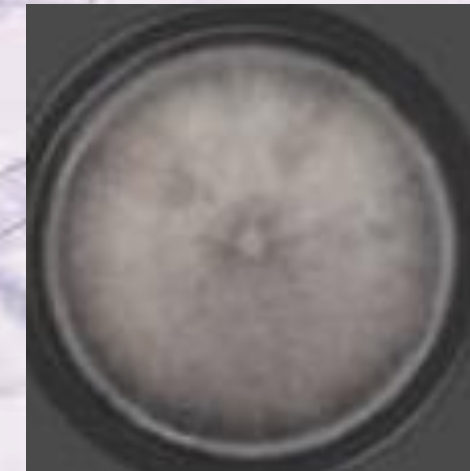
ACT-F



ACT-E



ACT-M



CONTROL



NCT-F



NCT-E

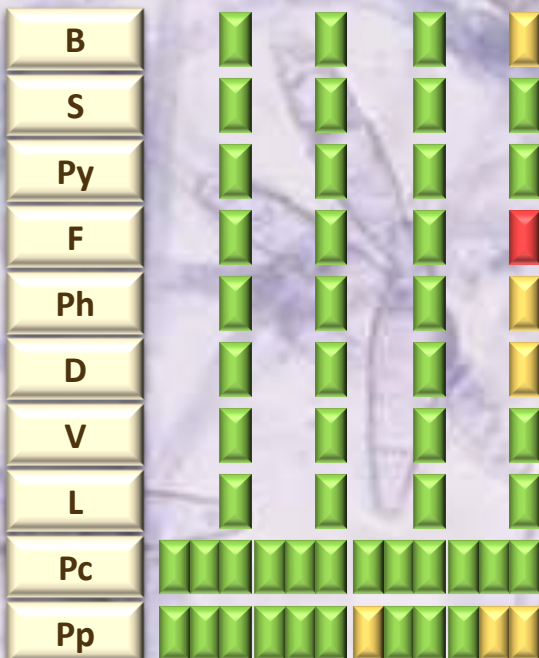


NCT-M

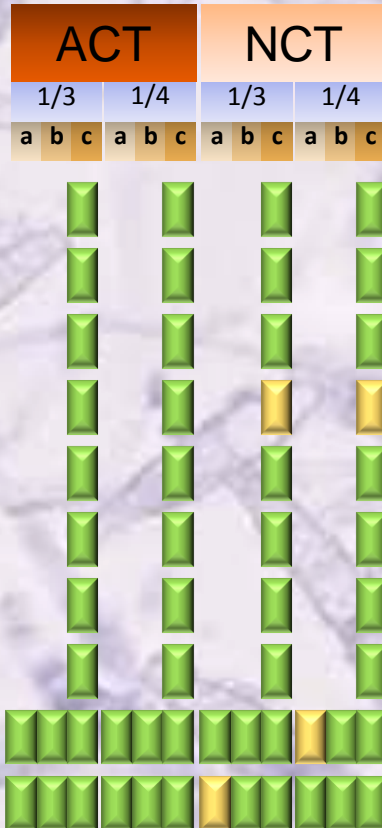
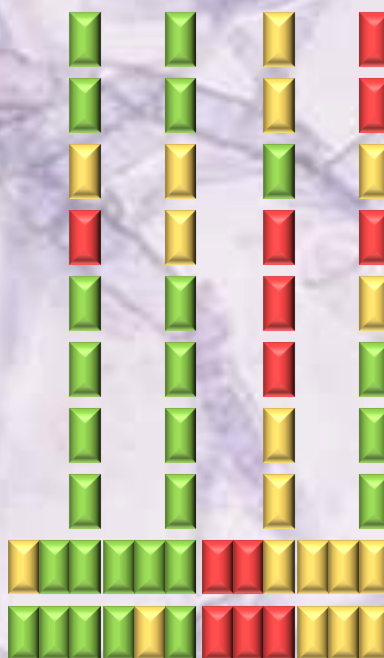


ACT		NCT						
1/3	1/4	1/3	1/4					
a	b	c	a	b	c	a	b	c

ACT		NCT						
1/3	1/4	1/3	1/4					
a	b	c	a	b	c	a	b	c



ACT		NCT						
1/3	1/4	1/3	1/4					
a	b	c	a	b	c	a	b	c



ACT

mejor que

NCT

Altos % de inhibición en la mayoría de los té
de compost

peores resultados

Tés al 5% son menos efectivos



bryoniae

n dahliae

um fungicola

ora capsici

ora parasitica

- Inhibición > 80%
- 80% > Inhibición > 50%
- Inhibición < 50%

BLOQUES DE ESTUDIO

A. Análisis microbiológico de los tés de compost



B. Análisis físico-químico de los tés de compost



C. Ensayos de supresividad *in vitro*



D. Ensayos de supresividad *in vivo*



E. Análisis enzimático de los tés de compost



F. Tés de compost para la fertirrigación de los cultivos



G. Tés de compost para la promoción del crecimiento vegetal



D. ENSAYOS DE SUPRESIVIDAD *IN VIVO*

SMC



GMC



ACT \leftrightarrow NCT
1/4 (p/v)

MELÓN-OÍDIO (*Podosphaera fusca*)

MELÓN-CHANCRO GOMOSO (*Dydimella bryoniae*)

MELÓN-NEMATODOS (*Meloidogyne incognita*)

CRC

PIMIENTO-TRISTEZA (*Phytophthora capsici*)

PIMIENTO-PODREDUMBRE DEL TALLO (*Phytophthora parasitica*)

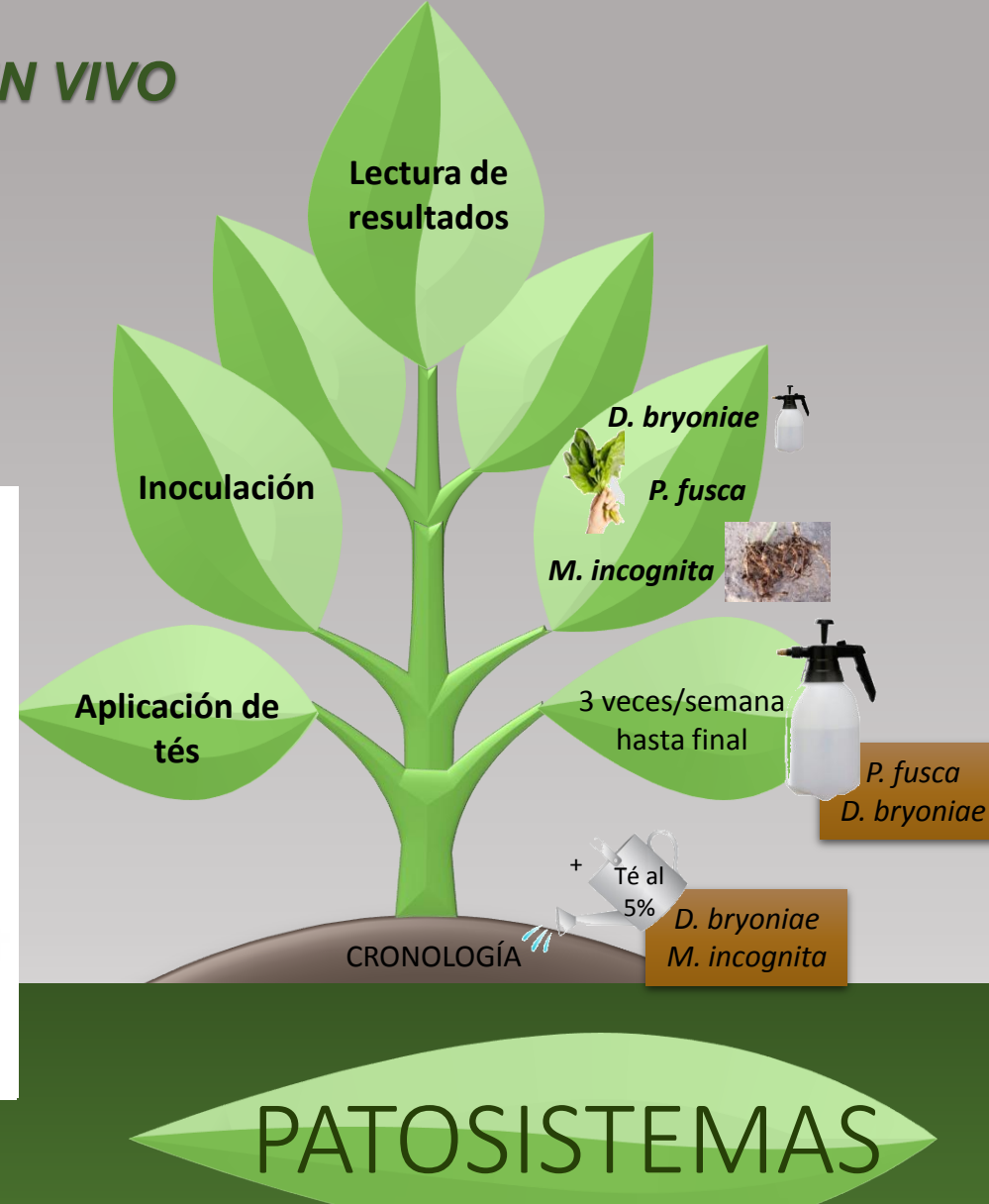
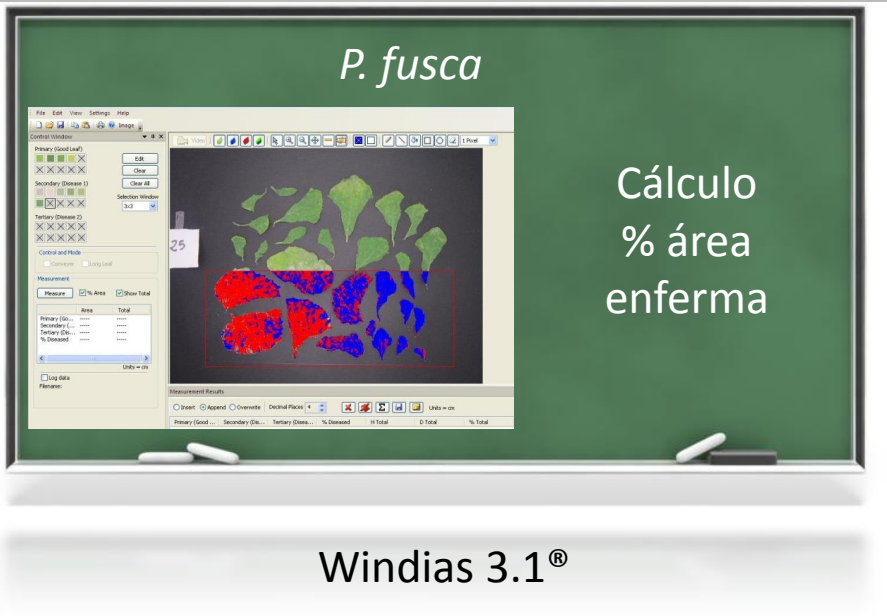
CRV

PATOSISTEMAS

D. ENSAYOS DE SUPRESIVIDAD IN VIVO



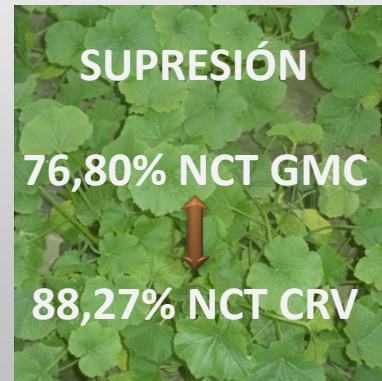
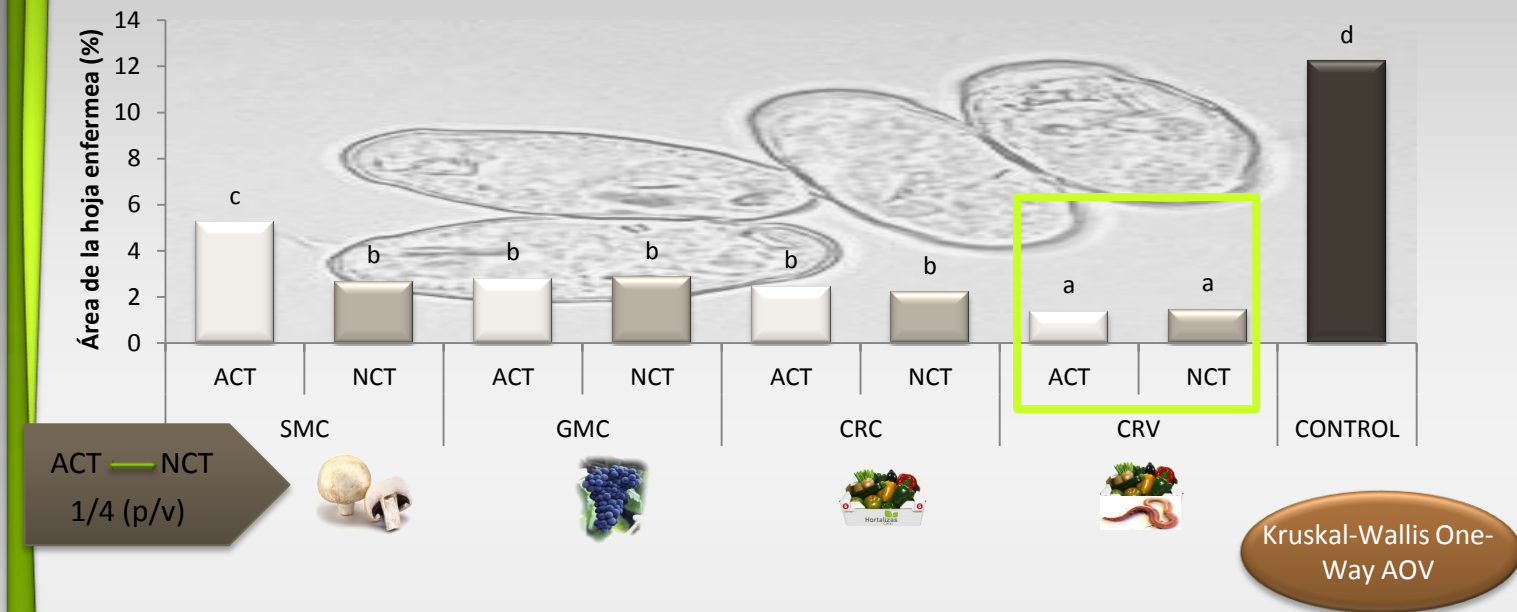
ACT \longleftrightarrow NCT
1/4 (p/v)



MELÓN-OÍDIO (*Podosphaera fusca*)
MELÓN-CHANCRO GOMOSO (*Dydimella bryoniae*)
MELÓN-NEMATODOS (*Meloidogyne incognita*)

D. ENSAYOS DE SUPRESIVIDAD IN VIVO

MELÓN-OÍDIO (*Podosphaera fusca*)



Gran control de la enfermedad

NCT mejor resultados que ACT

Destacan los tés de CRV

D. ENSAYOS DE SUPRESIVIDAD *IN VIVO*

SMC



ACT \leftrightarrow NCT
1/4 (p/v)

GMC



CRC



CRV



MELÓN-OÍDIO (*Podosphaera fusca*)

MELÓN-CHANCRO GOMOSO (*Dydimella bryoniae*)

MELÓN-NEMATODOS (*Meloidogyne incognita*)

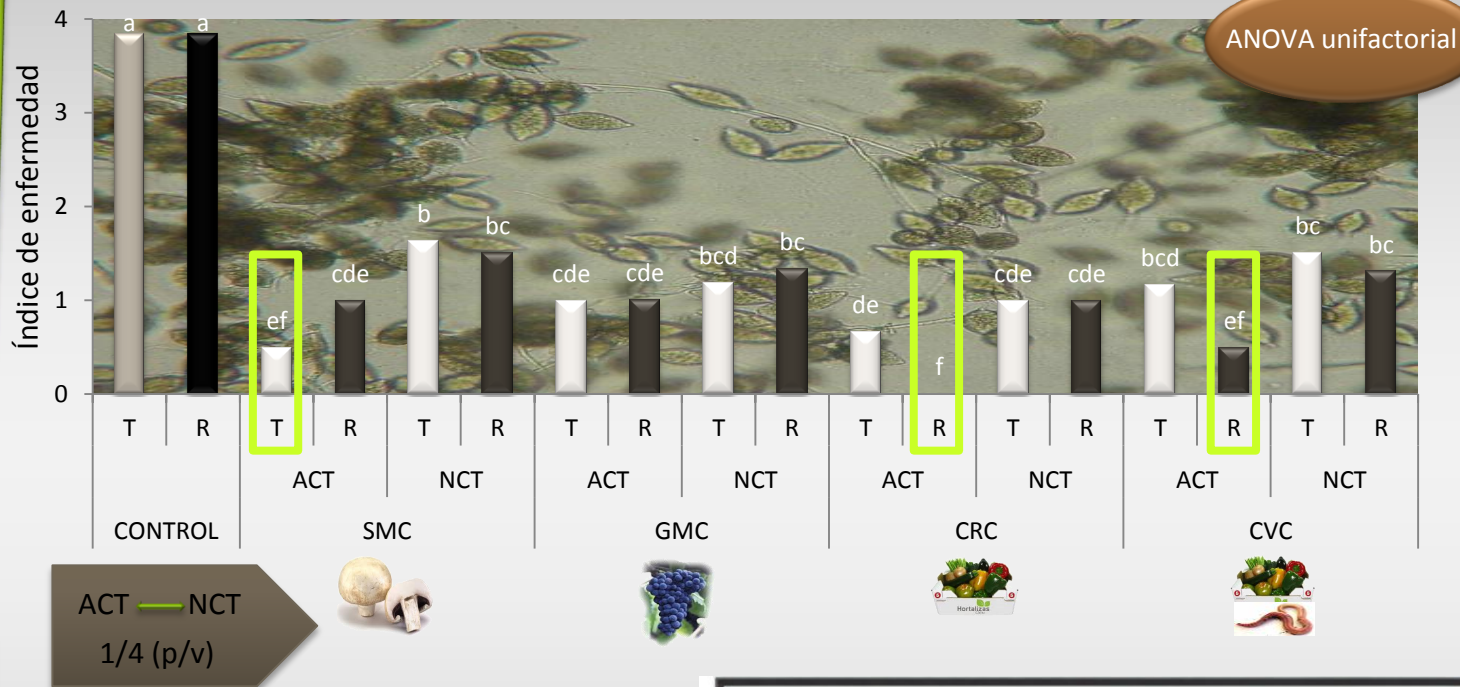
PIMIENTO-TRISTEZA (*Phytophthora capsici*)

PIMIENTO-PODREDUMBRE DEL TALLO
(*Phytophthora parasitica*)

PATOSISTEMAS

D. ENSAYOS DE SUPRESIVIDAD IN VIVO

PIMIENTO-TRISTEZA (*Phytophthora capsici*)



Buen control de la enfermedad

Sin clara influencia de la re-inoculación con té de compost

Destacan el ACT-R de CRC

Phytophthora spp.:

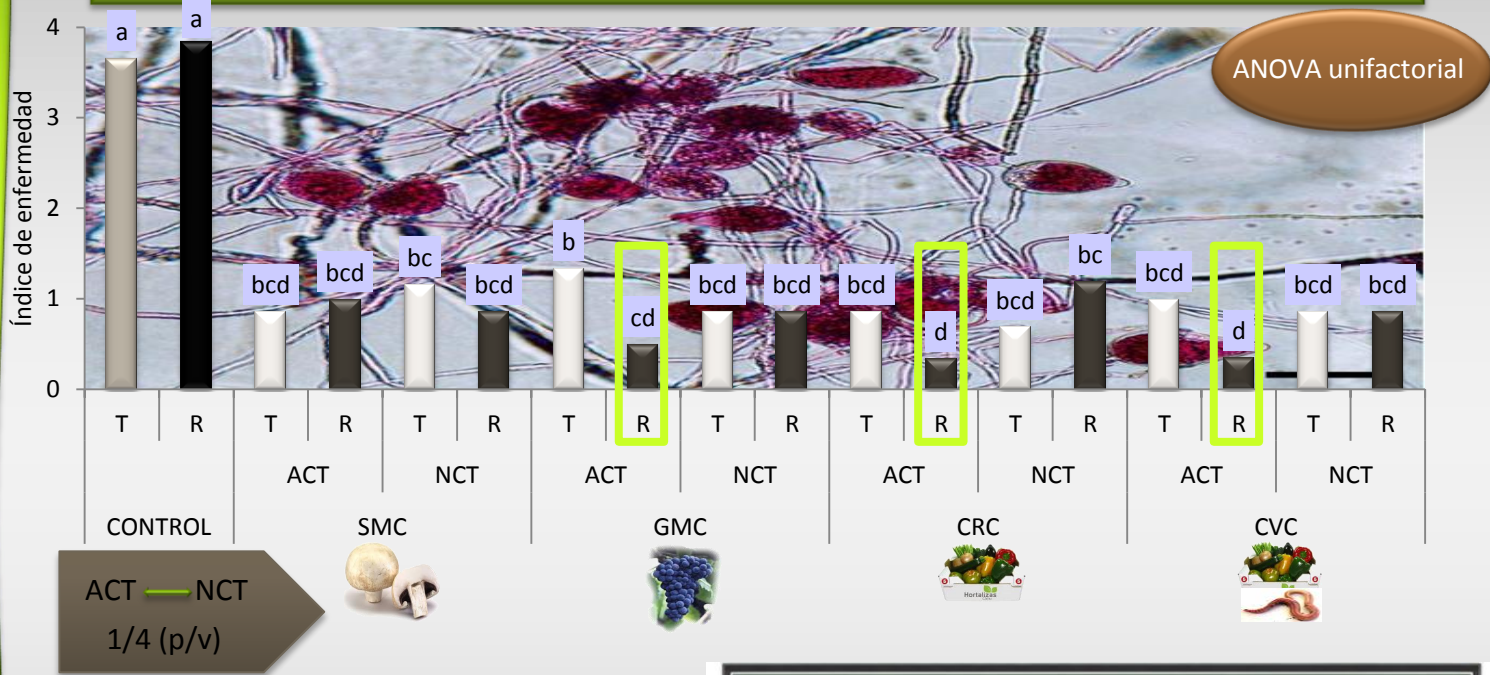
0. Planta sana
1. Inicio de síntomas
2. Síntomas moderados
3. Planta gravemente afectada
4. Planta muerta

15 días tras inoculación

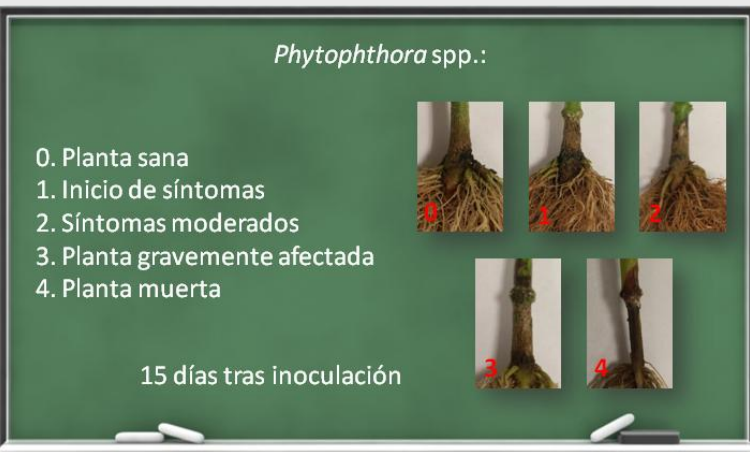


D. ENSAYOS DE SUPRESIVIDAD IN VIVO

PIMIENTO-PODREDUMBRE DEL TALLO (*Phytophthora parasitica*)



Buen control de la enfermedad
Sin clara influencia de la re-inoculación con té de compost
Destacan el ACT-R de CRC y CRV



BLOQUES DE ESTUDIO

A. Análisis microbiológico de los tés de compost



B. Análisis físico-químico de los tés de compost



C. Ensayos de supresividad *in vitro*



D. Ensayos de supresividad *in vivo*



E. Análisis enzimático de los tés de compost



F. Tés de compost para la fertirrigación de los cultivos



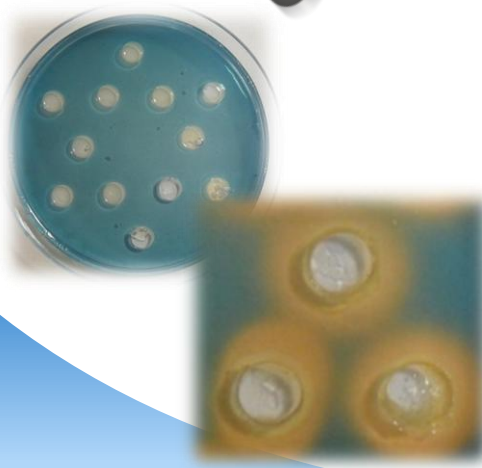
G. Tés de compost para la promoción del crecimiento vegetal



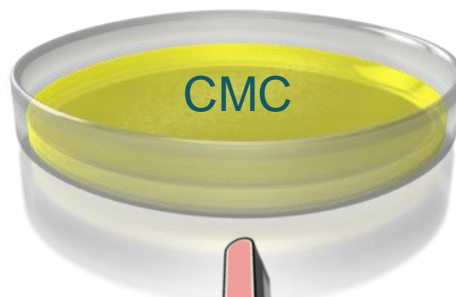
E. ANÁLISIS ENZIMÁTICO DE LOS TÉS DE COMPOST

0
25 °C
48 h

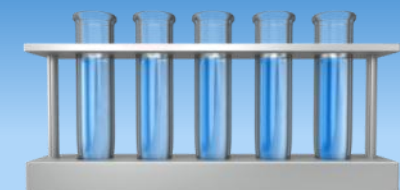
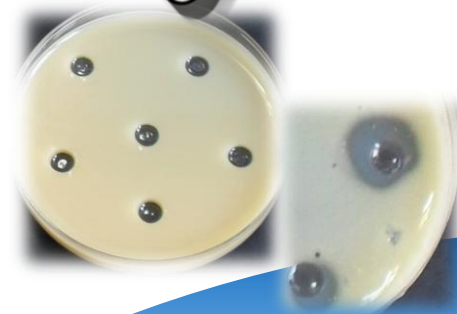
SIDERÓFOROS



ACTIVIDAD CELULASA



ACTIVIDAD PROTEASA



E. ANÁLISIS ENZIMÁTICO DE LOS TÉS DE COMPOST



SMC



ACT

NCT

GMC



ACT

NCT

CRC



ACT

NCT

CRV



ACT

NCT

	SIDERÓFOROS			CELULASA			PROTEASA		
	F	E	M	F	E	M	F	E	M
SMC	ACT	+	+	+	+	+	+	↑	+
	NCT	+	+	+	+	+	+	↑	+
GMC	ACT	+	+	+	+	+	+	+	+
	NCT	+	+	+	+	+	+	↑	+
CRC	ACT	+	+	+	+	+	+	↓	+
	NCT	+	+	+	+	+	+	+	+
CRV	ACT	+	+	+	+	+	+	↓	+
	NCT	+	+	+	+	+	+	↓	+



+: 12-10 condiciones



+: 9-4 condiciones



+: 3-1 condiciones



Máximo valor



Mínimo valor



BLOQUES DE ESTUDIO

A. Análisis microbiológico de los tés de compost



B. Análisis físico-químico de los tés de compost



C. Ensayos de supresividad *in vitro*



D. Ensayos de supresividad *in vivo*



E. Análisis enzimático de los tés de compost

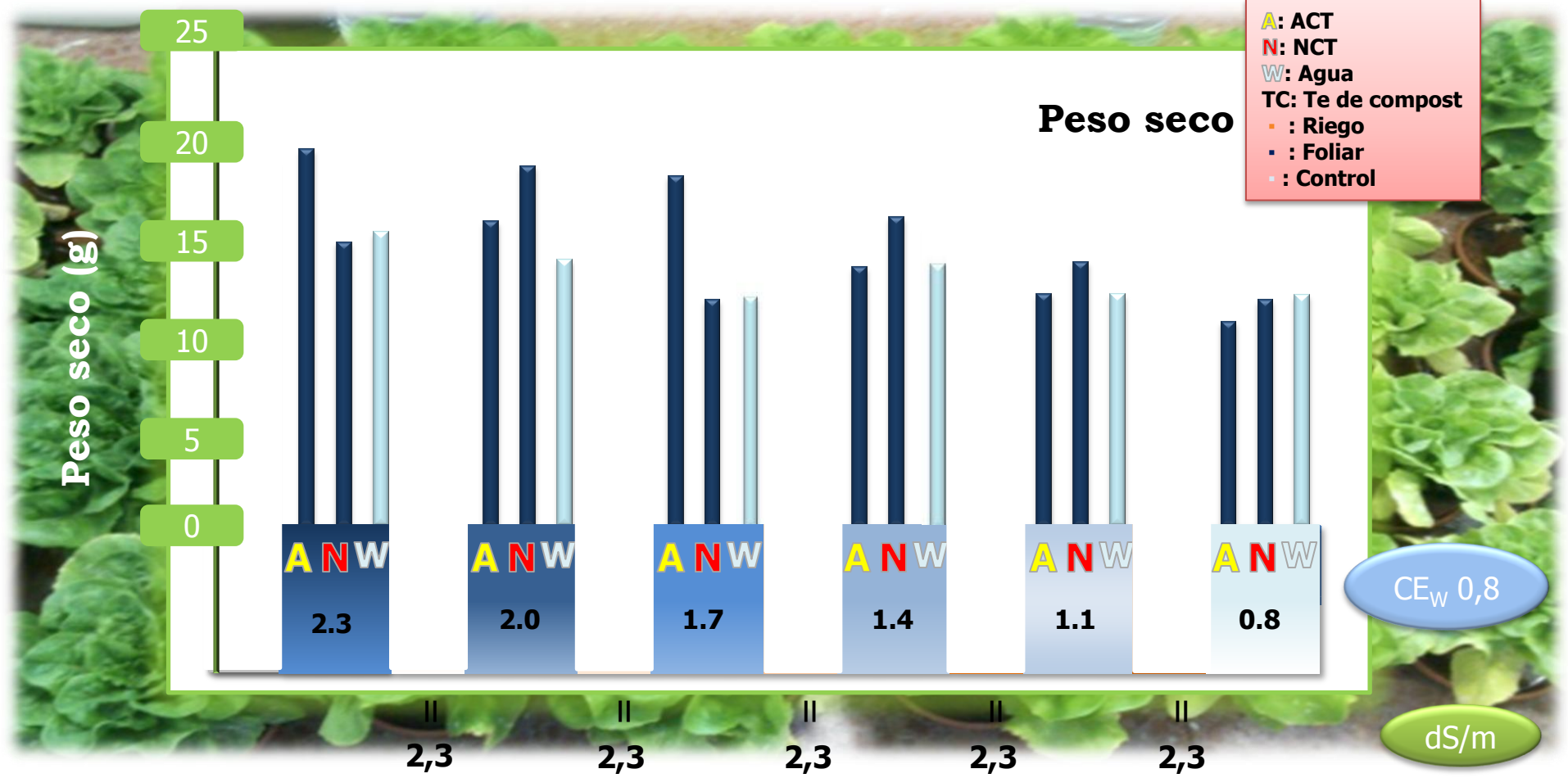


F. Tés de compost para la fertirrigación de los cultivos



G. Tés de compost para la promoción del crecimiento vegetal





Té de compost de restos hortícolas

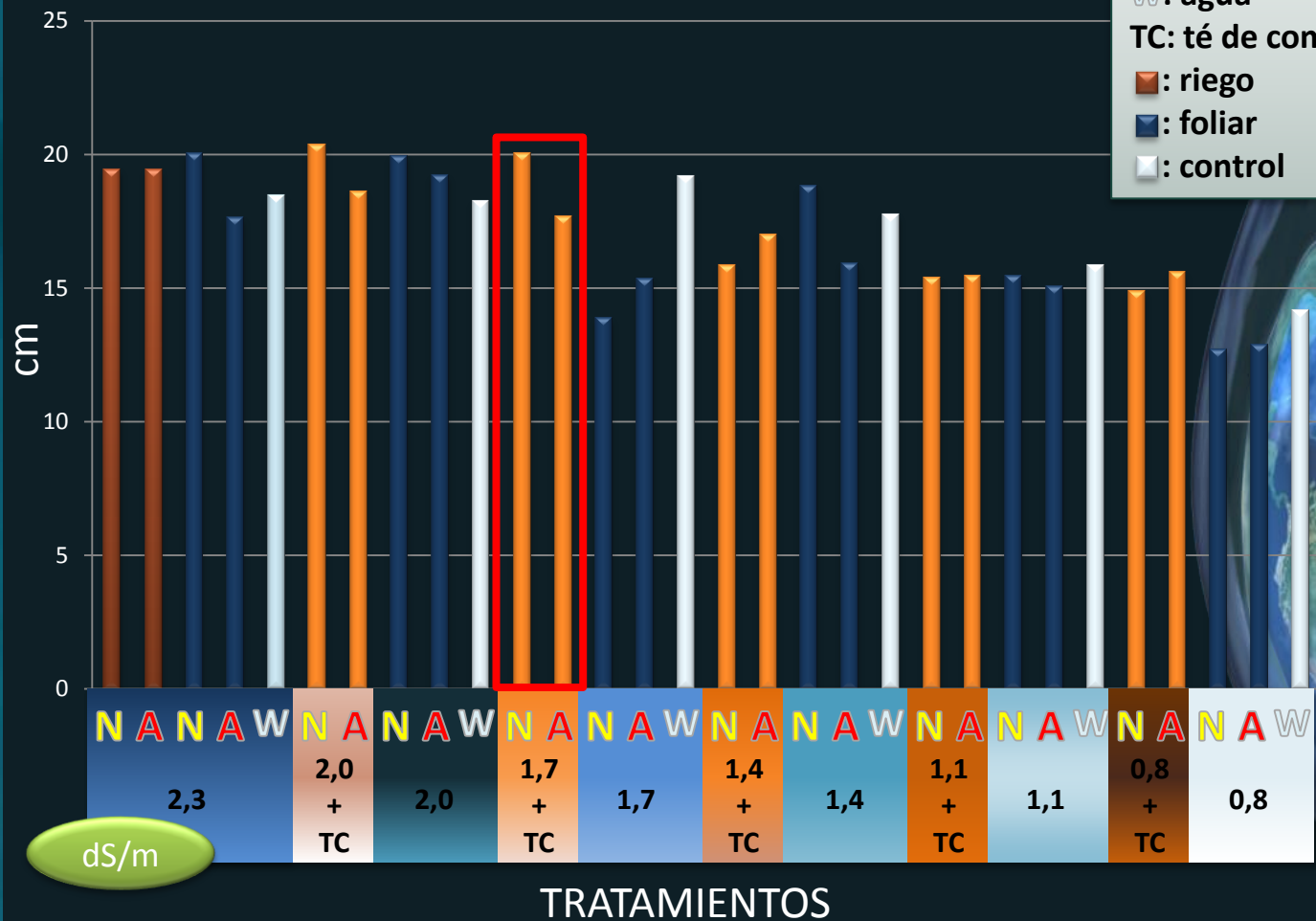


Nutrición de plantas

E. FERTIRRIGACIÓN DE LOS CULTIVOS

ENSAYO FERTIRRIGACIÓN EN LECHUGA

Altura planta



E. FERTIRRIGACIÓN DE LOS CULTIVOS

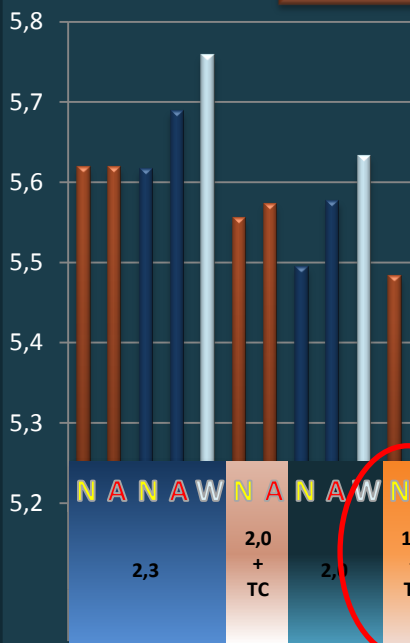
ENSAYO FERTIRRIGACIÓN EN LECHUGA

Peso fresco gramos



E. FERTIRRIGACIÓN DE LOS CULTIVOS

ENsayo FERTIRRIGACIÓN EN LECHUGA



pH

A table showing fertilizer usage (g) for different irrigation treatments. The treatments are grouped by EC values: 2,3 dS/m, 2,0 dS/m, 1,7 dS/m, 1,4 dS/m, and 1,1 dS/m. A red box highlights the 2,0 dS/m group. An inset shows a person putting money into a piggy bank with the text "42,6%".

	2,3 dS/m	2 dS/m	1,7 dS/m	1,4 dS/m	1,1 dS/m
Ca(NO ₃) ₂	20,5g	15,47g	11,76g	7,65g	3,97g
SO ₄ Mg	7,50g	5,66g	4,30g	2,80g	1,45g
KH ₂ PO ₄	8,51g	6,42g	4,88g	3,17g	1,65g
KCl	4,66g	3,51g	2,67g	1,74g	0,90g

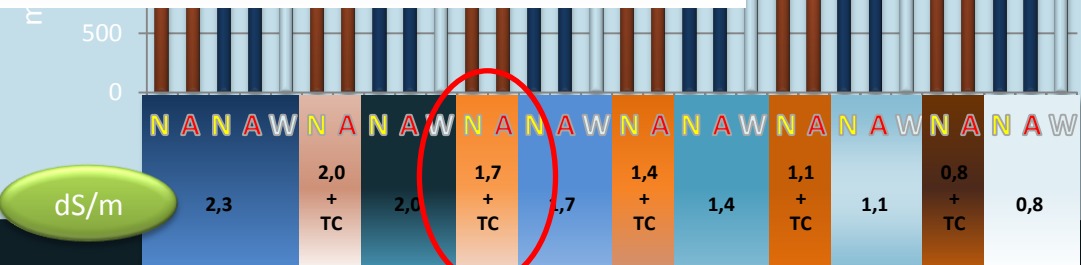
N + NCT



42,6%

C.E.

AHORRO EN FERTILIZANTES



dS/m



BLOQUES DE ESTUDIO

A. Análisis microbiológico de los tés de compost



B. Análisis físico-químico de los tés de compost



C. Ensayos de supresividad *in vitro*



D. Ensayos de supresividad *in vivo*



E. Análisis enzimático de los tés de compost



F. Tés de compost para la fertirrigación de los cultivos



G. Tés de compost para la promoción del crecimiento vegetal



G. PROMOCIÓN DEL CRECIMIENTO VEGETAL



ÍNDICES CALIDAD CALCULADOS

ÍNDICE DE CALIDAD DE DICKSON (DQI)
(Dickson *et al.*, 1960)

$$DQI = \frac{P. \text{ total}}{\frac{L. \text{ tallo}}{\phi \text{ tallo}} + \frac{P. \text{ tallo}}{P. \text{ raíz}}}$$

ÍNDICE DE ESBELTEZ (SR)
(Ritchie, 1984)

$$SR = \frac{\text{altura tallo}}{\phi \text{ tallo}}$$

COEFICIENTE DE ÁREA FOLIAR (LAR)
(Briggs *et al.*, 1920)

$$LAR = \frac{\text{área foliar}}{P. \text{ total}}$$

ÁREA FOLIAR ESPECÍFICA (SLA)
(Herrera *et al.*, 2008, 2009)

$$SLA = \frac{\text{área foliar}}{P. \text{ hojas}}$$

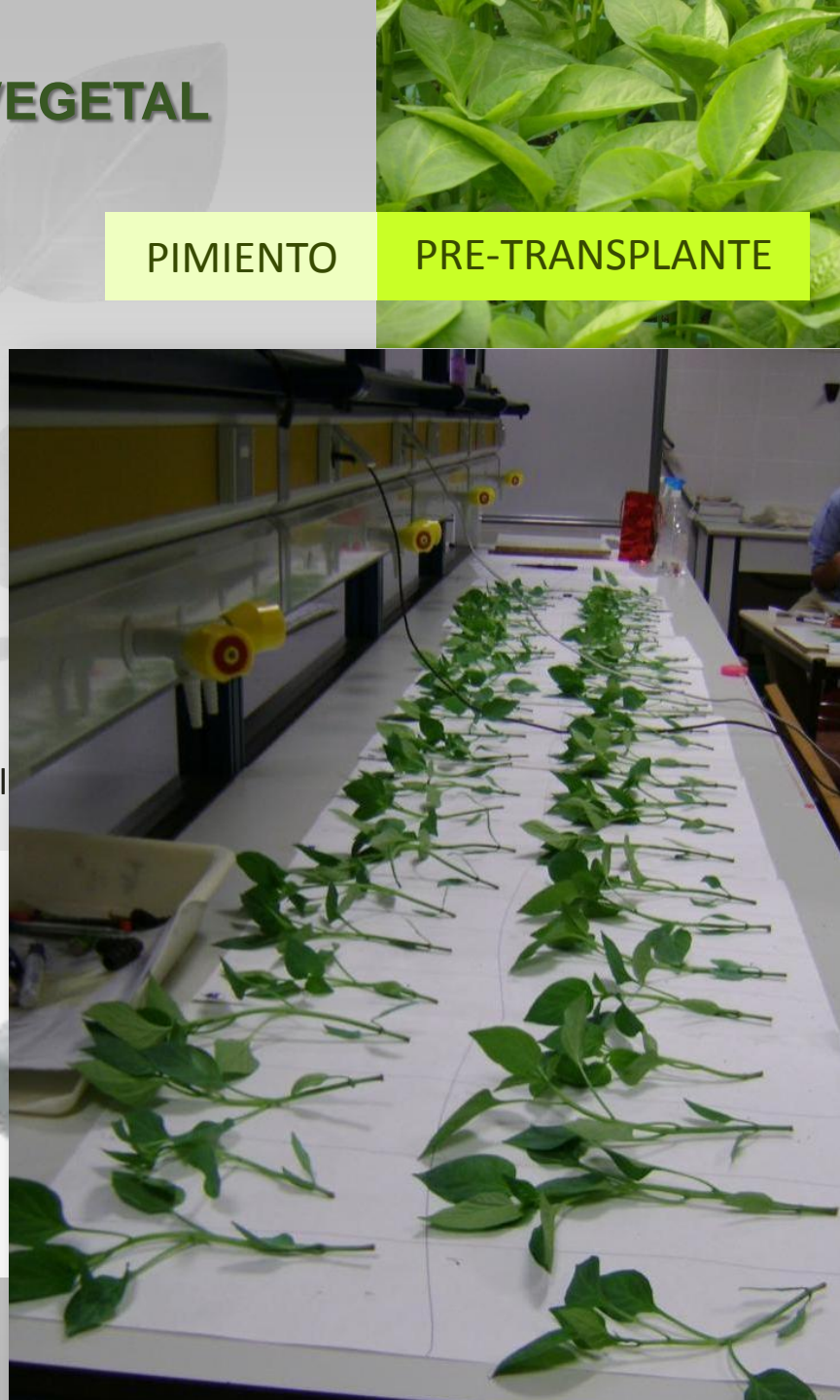
ENSAYOS

RIEGO

FOLIAR



G. PROMOCIÓN DEL CRECIMIENTO VEGETAL





PIMIENTO

PRE-TRANSPLANTE

ACT/NCT

50 días

	L	C	PSH	PST	PSR	PS TOT	H	A	DQI↑	SR↑	SLA↓	LAR↓
ACT	13,89 cde	2,98 ab	0,24 abc	0,12 abc	0,12 abc	0,48 ab	10,00 abc	85,97 ab	0,09 ab	0,88 a	356,33 cde	181,46 cd
NCT	15,13 a	3,06 a	0,25 ab	0,13 abc	0,13 a	0,50 a	10,47 ac	93,08 a	0,09 ab	0,87 ab	379,45 bc	187,96 bc
ACT	15,07 ab	2,97 ab	0,23 cd	0,11 bcd	0,11 bc	0,45 bc	9,97 abc	88,08 a	0,07 cde	0,85 bcd	392,21 ab	197,24 b
NCT	14,53 abc	2,83 c	0,22 cd	0,13 a	0,12 ab	0,47 ab	9,81 bc	76,47 c	0,08 bcd	0,84 cd	345,80 de	163,32 e
ACT	14,36 abcd	2,87 bc	0,21 d	0,11 d	0,10 c	0,42 c	9,75 c	79,21 bc	0,07 de	0,84 cd	394,34 ab	192,77 bc
NCT	13,72 de	2,88 bc	0,22 cd	0,11 cd	0,12 abc	0,45 bc	9,94 abc	79,23 bc	0,08 abcd	0,85 abc	375,41 bcd	183,64 cd
ACT	13,48 e	2,92 bc	0,22 bcd	0,11 bcd	0,11 abc	0,45 bc	9,94 abc	79,29 bc	0,08 abc	0,87 ab	356,88 cde	178,32 cd
NCT	14,27 bcde	2,95 ab	0,25 a	0,13 ab	0,13 a	0,51 a	10,56 a	85,46 ab	0,09 a	0,86 abc	344,25 e	171,37 de
TESTIGO	14,85 ab	2,90 bc	0,21 d	0,11 d	0,10 c	0,42 c	9,72 c	87,37 ab	0,07 e	0,83 cd	414,56 a	212,99 a

L	Longitud tallo (cm)	H	Número de hojas		
C	Calibre (mm)	A	Área foliar (cm ²)		Más favorable que el testigo
PSH	Peso seco hojas (g)	DQI	Índice de Calidad de Dickson		Sin diferencias con testigo
PST	Peso seco tallo (g)	SR	Índice de Esbeltez		Menos favorable que el testigo
PSR	Peso seco raíz(g)	SLA	Área Foliar Específica		
PS TOT	Peso seco total planta (g)	LAR	Coeficiente de Área Foliar		

G. PROMOCIÓN DEL CRECIMIENTO VEGETAL

SMC



GMC



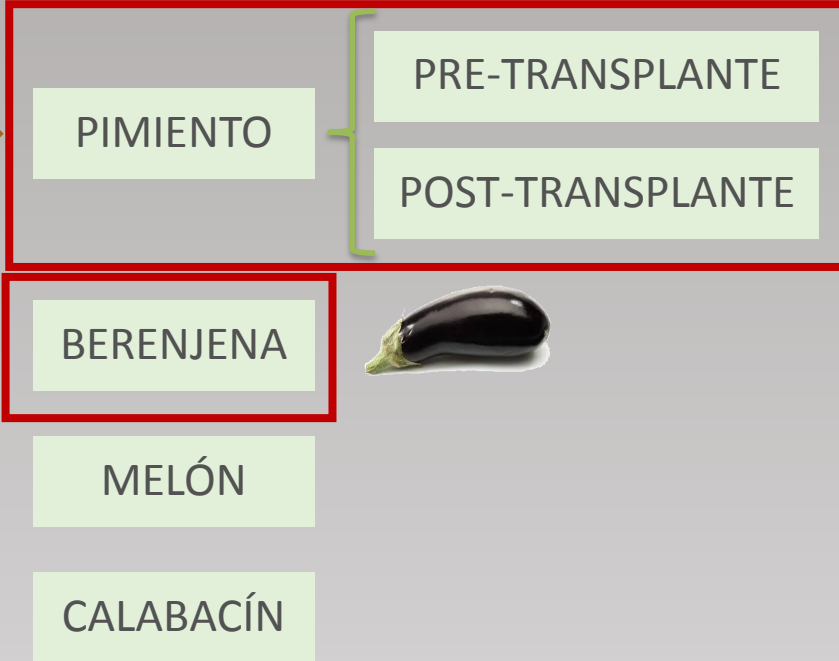
CRC



CRV



ACT \leftrightarrow NCT
1/4 (p/v)





BERENJENA



puro



ACT

1/3
1/4

NCT

1/3
1/4

TESTIGO

	L	H	A 3 ^a H	PSH	PST	PSR	PS TOTAL
ACT	11,63 bc	7,2 a	56,14 a	1,39 ab	0,35 ab	0,34 a	2,07 ab
	12,94 cd	7,3 a	54,14 a	1,46 ab	0,37 ab	0,30 a	2,14 ab
NCT	14,08 d	7,7 a	54,15 a	2,00 b	0,5 b	0,48 b	2,98 b
	10,54 ab	7,4 a	52,07 a	1,30 a	0,33 a	0,28 a	1,91 a
TESTIGO	9,02 a	7,2 a	46,49 a	1,10 a	0,28 a	0,26 a	1,64 a

L

Longitud tallo (cm)

H

Número de hojas

A3^a H

Área foliar de la 3^a hoja verdadera

PSH

Peso seco hojas (g)

PST

Peso seco tallo (g)

PSR

Peso seco raíz (g)

PS TOTAL

Peso seco total(g)

Más favorable que el testigo

Sin diferencias con el testigo



G. PROMOCIÓN DEL CRECIMIENTO VEGETAL

SMC



GMC



CRC



CRV



ACT \leftrightarrow NCT
1/4 (p/v)

PIMIENTO

PRE-TRANSPLANTE

POST-TRANSPLANTE

BERENJENA

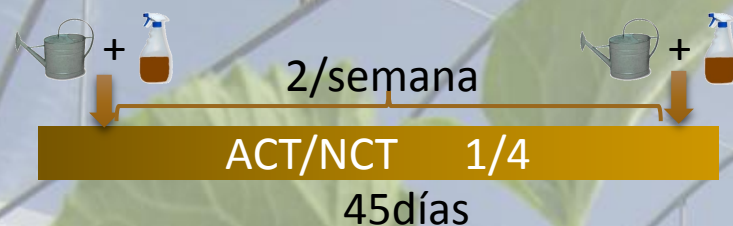
MELÓN

CALABACÍN





MELÓN



	LP	LT	HP	HT	C	PSR	PST	PSH
ACT	138,09 ab	318,89 cd	22 ab	49 ab	9,85 abc	2,22 bcd	14,91 bcd	18,70 abcd
NCT	143,36 ab	287,14 abc	24 ab	50 ab	10,55 c	2,58 de	16,16 d	20,11 d
ACT	127,73 ab	251,53 a	23 ab	47 ab	10,47 c	1,70 a	11,50 a	17,18 a
NCT	112,32 a	262,78 ab	21 a	48 ab	10,40 bc	1,96 abc	13,29 ab	18,00 abc
ACT	141,90 ab	330,48 d	23 ab	53 b	10,01 abc	2,41 cd	15,03 bcd	19,40 bcd
NCT	147,67 b	298,38 bcd	23 ab	49 ab	9,96 abc	2,44 cd	13,54 b	19,47 cd
ACT	144,17 b	271,67 ab	24 b	51 ab	10,19 abc	1,79 ab	15,45 cd	17,77 abc
NCT	145,43 b	302,19 bcd	24 ab	50 ab	9,45 a	2,34 cd	13,74 bc	17,50 ab
TESTIGO	142,00 ab	271,16 ab	22 ab	45 a	9,64 ab	2,95 e	13,50 b	18,56 abcd

LP	Longitud tallo principal (cm)	C	Calibre tallo (mm)	
LT	Longitud total de la planta (cm)	PSR	Peso seco raíz (g)	Más favorable que el testigo
HP	Hojas tallo principal	PST	Peso seco tallos (g)	Sin diferencias con testigo
HT	Hojas totales de la planta	PSH	Peso seco hojas (g)	Menos favorable que el testigo

G. PROMOCIÓN DEL CRECIMIENTO VEGETAL

SMC



GMC



CRC



CRV



ACT \leftrightarrow NCT
1/4 (p/v)

PIMIENTO

PRE-TRANSPLANTE

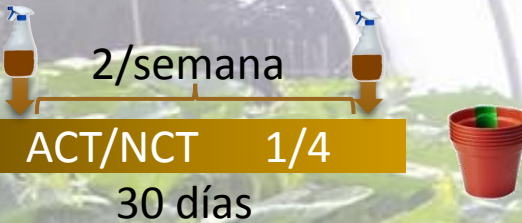
POST-TRANSPLANTE

BERENJENA

MELÓN

CALABACÍN



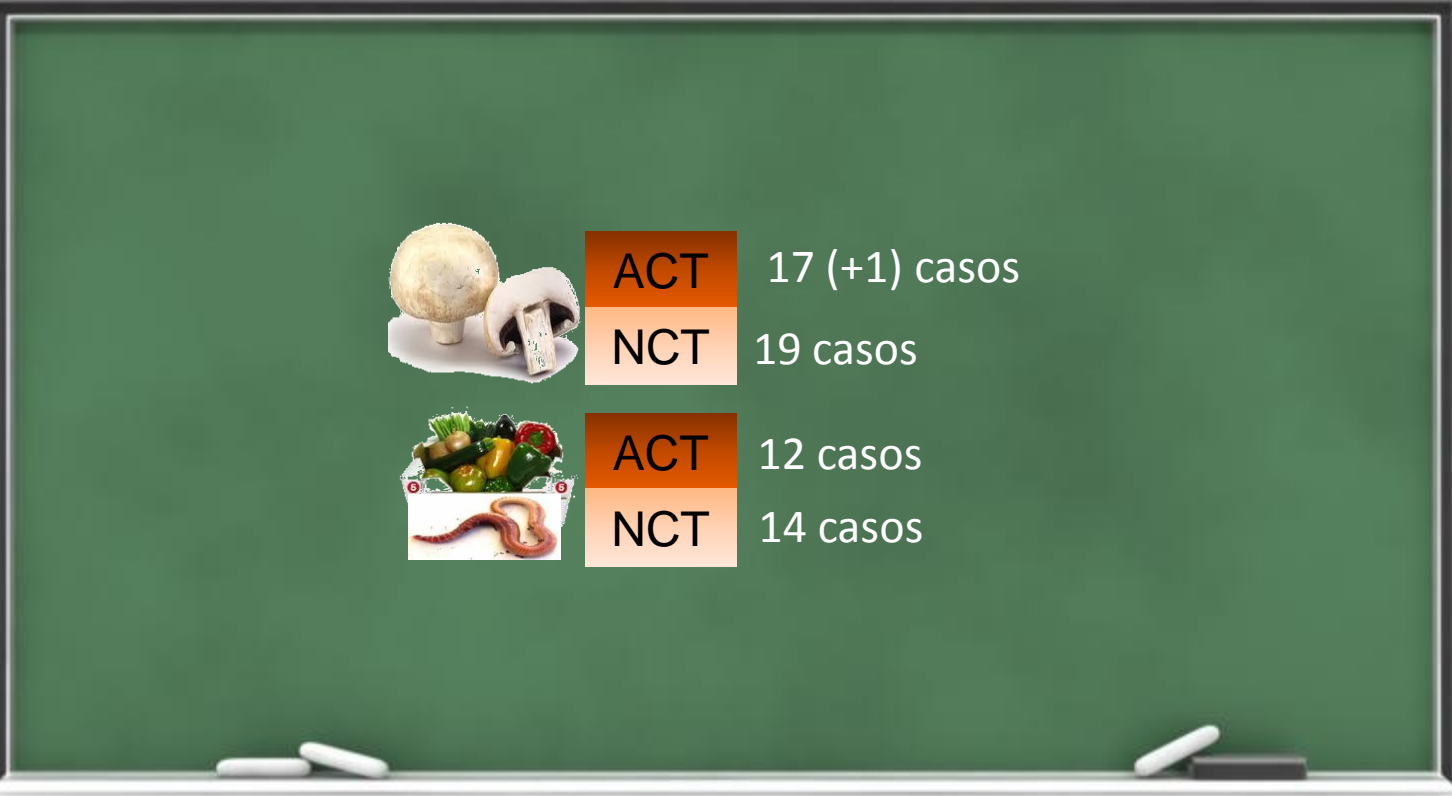


CALABACÍN

L C PSH PST PSR PS TOT H A DQI↑ SR↑ SLA↓ LAR↓

ACT	7,50 b	8,73 d	2,18 cd	0,50 c	0,27 d	2,95 de	4,53 ab	345,92 b	1,12 c	3,18 c	161,64 bcd	118,52 b
NCT	7,62 b	8,05 c	2,26 d	0,46 b	0,24 bcd	2,95 de	4,88 c	407,56 c	1,04 bc	2,92 b	182,30 f	139,42 d
ACT	7,58 b	8,07 c	2,11 bcd	0,40 a	0,22 b	2,73 bcd	4,69 bc	356,49 b	0,99 bc	2,93 b	170,60 de	131,50 cd
NCT	7,72 b	8,01 bc	2,17 cd	0,40 a	0,22 ab	2,79 bcde	4,66 bc	358,97 b	1,00 bc	2,89 b	166,29 cde	129,37 c
ACT	7,41 ab	7,51 a	1,86 a	0,39 a	0,19 a	2,43 a	4,38 a	287,54 a	0,80 a	2,74 a	155,80 b	118,58 b
NCT	7,80 b	7,82 abc	2,01 abc	0,37 a	0,21 ab	2,59 abc	4,53 ab	344,76 b	0,94 ab	2,82 ab	171,63 de	132,59 cd
ACT	7,77 b	8,05 c	2,18 cd	0,45 b	0,26 cd	2,89 cde	4,50 ab	343,27 b	1,08 bc	2,90 b	158,09 bc	118,96 b
NCT	7,53 b	7,58 a	2,34 d	0,48 bc	0,24 bcd	3,07 e	4,81 c	331,44 b	1,04 bc	2,76 a	143,09 a	108,87 a
TESTIGO	6,54 a	7,72 ab	1,91 ab	0,38 a	0,23 bc	2,52 ab	4,84 c	321,92 ab	1,00 bc	2,87 ab	173,17 ef	130,74 c

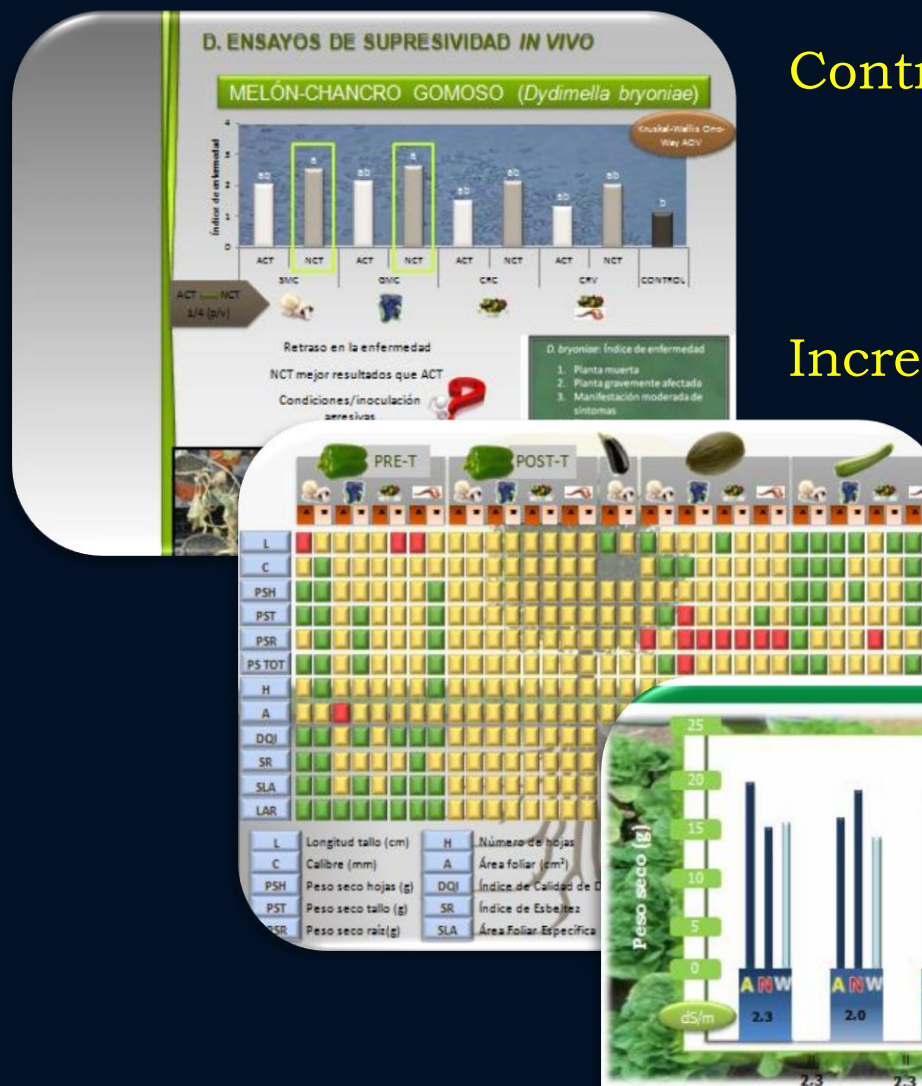
L	Longitud tallo (cm)	H	Número de hojas		
C	Calibre (mm)	A	Área foliar (cm ²)		Más favorable que el testigo
PSH	Peso seco hojas (g)	DQI	Índice de Calidad de Dickson		Sin diferencias con testigo
PST	Peso seco tallo (g)	SR	Índice de Esbeltez		Menos favorable que el testigo
PSR	Peso seco raíz(g)	SLA	Área Foliar Específica		
PS TOT	Peso seco total planta (g)	LAR	Coeficiente de Área Foliar		



L	Longitud tallo (cm)	H	Número de hojas	PS TOT	Peso seco total planta (g)
C	Calibre (mm)	A	Área foliar (cm ²)	LAR	Coeficiente de Área Foliar
PSH	Peso seco hojas (g)	DQI	Índice de Calidad de Dickson		Más favorable que el testigo
PST	Peso seco tallo (g)	SR	Índice de Esbeltez		Sin diferencias con testigo
PSR	Peso seco raíz(g)	SLA	Área Foliar Específica		Menos favorable que el testigo

Control de patógenos

Incremento de vigor



Nutrición de cultivos

CONTRIBUCIÓN CIENTÍFICA

World Journal of Microbiology and Biotechnology
August 2013, Volume 29, Issue 8, pp 1371-1382

Characters of compost teas from different sources and their suppressive effect on fungal phytopathogens

Francisco Marín, Mila Santos, Fernando Díánez, Francisco Carretero, Francisco J. Gea, José A. Yau, María J. Navarro

 » Download PDF (498 KB)

 » View Article



Control of *Phytophthora capsici* and *P. parasitica* on pepper (*Capsicum annuum*, L) with compost teas from different sources and their effect on plant growth promotion

Phytopathologia Mediterranea

Aceptado para publicación: 17 octubre de 2013.



Efecto supresor de los extractos acuosos del compost agotado de champiñón sobre el crecimiento de hongos fitopatógenos y sobre las plantas





GOBIERNO
DE ESPAÑA

MINISTERIO
DE ECONOMÍA
Y COMPETITIVIDAD



Financiación pública



Caracterización microbiológica y optimización de los mecanismos de supresividad de sustratos postculturivos de hongos comestibles frente a enfermedades del champiñón.

1^{ER} CONGRESO DE COMPOSTAJE VENEZUELA

GESTIÓN Y APROVECHAMIENTO DE RESIDUOS ORGÁNICOS
PARA LA MITIGACIÓN DEL CAMBIO CLIMÁTICO

